

666.92

Ц 64

Научно-исследовательский институт промышленности БССР
3 выпуск

II

А. Б. ЦИПЕРОВИЧ

ИЗВЕСТЬ ИЗ МЕЛА

ТЕОРИЯ ОБЖИГА

РАСЧЕТ ИЗВЕСТКОВОЙ ПЕЧИ

КОНСТРУКЦИЯ ПЕЧИ ДЛЯ ОБЖИГА РЫХЛОГО МЕЛА

1934

МИНСК

НКП ГОСУДАРСТВЕННОЕ НАУЧНО-ТЕХНИЧЕСКОЕ ИЗДАТЕЛЬСТВО БССР

Д Е П

О Р О
У б ч

НАУЧНО-ИССЛЕДОВАТЕЛЬСКИЙ ИНСТИТУТ ПРОМЫШЛЕННОСТИ БССР

ВЫПУСК

II

А. Б. ЦИПЕРОВИЧ

ИЗВЕСТЬ ИЗ МЕЛА

ТЕОРИЯ ОБЖИГА

РАСЧЕТ ИЗВЕСТКОВОЙ ПЕЧИ

КОНСТРУКЦИЯ ПЕЧИ ДЛЯ ОБЖИГА РЫХЛОГО МЕЛА

РЕСПУБЛИКАНСКАЯ
НАУЧНО-ТЕХНИЧЕСКАЯ
БIBLIOTEKA BSSR



1934

МИНСК

НКЛП ГОСУДАРСТВЕННОЕ НАУЧНО-ТЕХНИЧЕСКОЕ ИЗДАТЕЛЬСТВО БССР

Стиль Куралович.

Корректор Соловьева.

Техредактор Френкель.

Сдано в типографию 20/XII-33 г.

Подписано к печати 25/IV-34 г.

Ответственный корректор типографии Гарабурда

Заказ № 1.

1000 экз.

Уп. Главлитбела НТ-116

Школа ФЗУ типографии им.Сталиса,

СОДЕРЖАНИЕ

Стр.

I. Пути к решению проблемы обжига рыхлого мела	5
II. Процесс брикетирования и свойства брикетов из мела	6
III. Максимальная высота шахтной печи для обжига мела в брикетах	11
IV. Анализ процессов обжига мела в разных зонах шахтной печи	14
а) Процесс диссоциации CaCO_3	15
б) Скорость процесса обжига с точки зрения теории теплопередачи	17
в) Экспериментальная проверка теоретических выводов	25
г) Процессы нагрева и охлаждения брикетов в соответствующих зонах шахтной печи	27
д) Процесс сушки в верхней зоне шахтной печи	33
V. Оптимальные условия ведения процесса обжига	36
VI. Расчетные данные для проектирования шахтных печей.	40
VII. Установка по обжigu рыхлого мела	50
а) Общие замечания	—
б) Разработка мела и его брикетирование	51
в) Конфигурация и устройство шахтной печи	53
г) Производительность печи	54
д) Мощность моторов для брикетировочных прессов.	55
е) Анализ особенностей формы и конструкции установки .	56

I. ПУТИ К РЕШЕНИЮ ПРОБЛЕМЫ ОБЖИГА РЫХЛОГО МЕЛА

Попытки обжигать рыхлый мел обычным путем—в шахтной печи или в печах Гофмана—встречают большие затруднения. Рыхлый мел под своей собственной тяжестью дробится в печи, заполняет все проходы для газов и не дает возможности вести обжиг его равномерно по всему сечению печи и достаточно интенсивно; рыхлость мела сказывается отрицательно на производительности печи и на качестве получаемой продукции.

В поисках метода рационального обжига рыхлого мела можно идти по трем направлениям.

1. Уплотнять мел и придавать ему определенную форму (брикетирование) с тем, чтобы он не крошился в печи под своей собственной тяжестью и обеспечил бы таким образом проходы для газов.

2. Обжигать мел в тонком слое так, чтобы он выдержал в печи нагрузку от собственного веса и не создавал бы больших сопротивлений проходу газов. Терплю же, уносимое из печи уходящими газами, регенерировать и вернуть обратно в печь (регенераторная печь).

3. Обжигать мел во взвешенном состоянии, предварительно его высушив и тщательно раздробив.

Каждый из этих приемов имеет свои положительные и отрицательные стороны, которые могут быть коротко сформулированы следующим образом.

1. Положительными сторонами брикетирования являются:
а) уплотнение мела, что придает ему механическую устойчивость в печи; б) придача мелу определенной формы, что обеспечивает образование каналов для прохода газов; в) одинаковый размер брикетов дает возможность увеличить производительность печи (при обычных условиях, когда в печь вводятся куски мела различных размеров, скорость прохождения всего продукта через шахту приходится замедлять пока не будут обожжены самые крупные куски, и этим самым, конечно, уменьшается производительность печи); г) однообразная форма брикета обеспечивает равномерность загрузки шахты и, следовательно, равномерность обжига, а правильная форма брикетов дает возможность организовать непрерывный процесс загрузки мела в печь и механизировать этот процесс небольшими затратами средств, что, в свою очередь, дает возможность правильно организовать производство при высокой эффективности работы завода.

Отрицательной стороной этого решения является то, что процесс брикетирования должен несколько удорожить стоимость продукта. Однако, по нашему мнению, лишние расходы по бри-

кетировке полностью окупается тем, что при этом методе можно будет организовать добычу мела из карьера фрезерованием, а это значительно удешевит стоимость добычи сырья.

2. Положительной стороной метода обжига в регенераторных печах является то, что он освобождает производство от брикетирования мела и дает возможность развить большую производительность в сравнительно небольших печах. Однако этот метод связан с целым рядом недостатков, как например: увеличением удельного расхода топлива, получением рассыпчатого продукта обжига и выходом продукта из печи при высокой температуре, что, в свою очередь, затрудняет разгрузку.

3. Обжиг мела в пылевидном состоянии дает возможность получить из агрегатов большой производительности вполне однородный, хорошо обожженный продукт. Но этот прием связан с целым рядом затруднений, например:—необходимостью организовать сушку и размол мела перед обжигом, борьбой с уносами, сложностью вопроса использования отходящего тепла, дорогоизнанной и сложностью оборудования, требующего большого количества металла, получением конечного продукта в пылевидном состоянии и т. д. В этом нас убедил эскизный проект одной организации, пытавшейся решать эту задачу подобным путем. По нашему мнению выгоднее организовать обжиг мела во вращающихся печах, чем ставить сложные установки, какие требуются при обжиге мела во взвешенном состоянии.

Исходя из вышеизложенного, мы главным образом работали над первым способом решения проблемы обжига рыхлого мела, т. е. путем предварительного его брикетирования.

II. ПРОЦЕСС БРИКЕТИРОВАНИЯ И СВОЙСТВА БРИКЕТОВ ИЗ МЕЛА

Рассматривая мел под микроскопом мы замечаем, что он состоит из мелких раковинок или обломков их. Приближение этих ракушек в процессе брикетирования друг к другу так, чтобы вызвать между ними значительное действие внутренних сил и этим создать прочность брикета, является затруднительным. Шероховатые неровные поверхности ракушек вызывают большие внутренние трения в брикете и для преодоления их требуется большая сдавливающая сила. Помимо затруднений в получении достаточно больших давлений, необходимых для сухого прессования, этот прием создает еще затруднения в том отношении, что при больших давлениях мел прилипает к формам, из которых его потом очень трудно удалить, не попортив брикета. Значительно облегчается процесс брикетирования при влажном меле.

Чтобы изучить влияние разных факторов на процесс брикетирования мела, нами был произведен ряд опытов, которые сводятся к следующему: были приготовлены брикетики в виде цилиндриков из мела разной влажности, при разных давлениях

Брикетирования. Затем изучалась прочность полученных мело брикетов на раздавливание при разных условиях, а именно:

- 1) во влажном виде сейчас же после прессования,
- 2) после просушки брикета,
- 3) после обжига.

Испытание брикетов производилось в этих 3-х состояниях потому, что брикет в печи фактически и встречается в этих же состояниях. Результаты полученных испытаний даны нами на диаграммах №1 и №2.

Механическое сопротивление брикета сжатию в зависимости от влажности и давления брикетирования

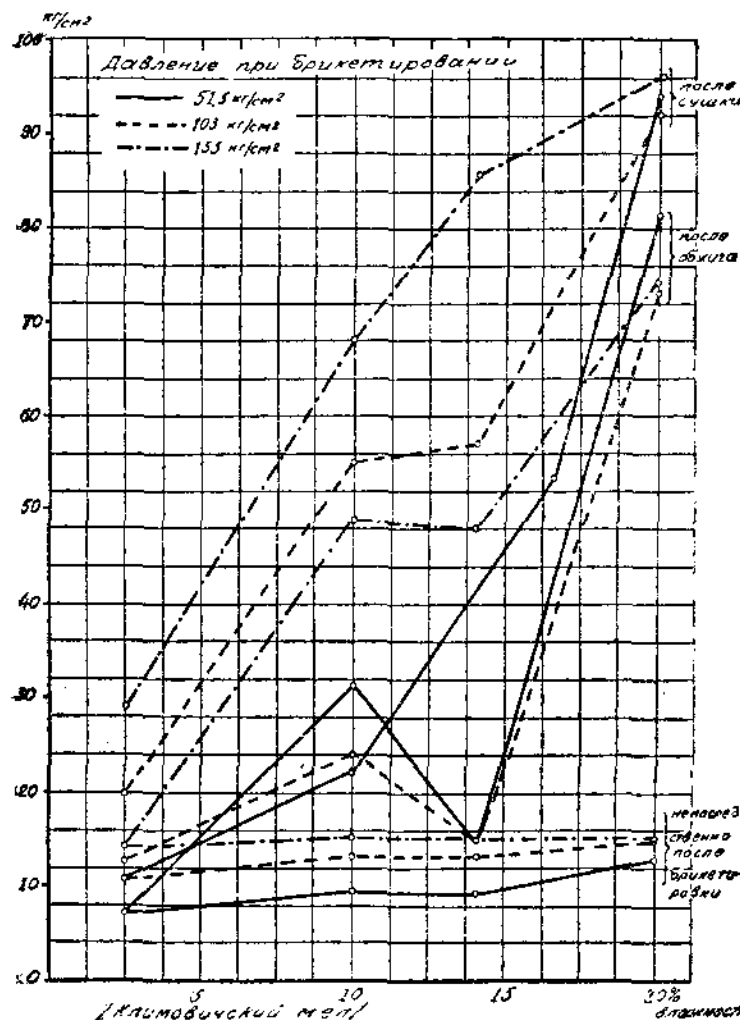


Диаграмма № 1.

Механическое сопротивление брикета сжатию в зависимости от влажности и давления при брикетировании

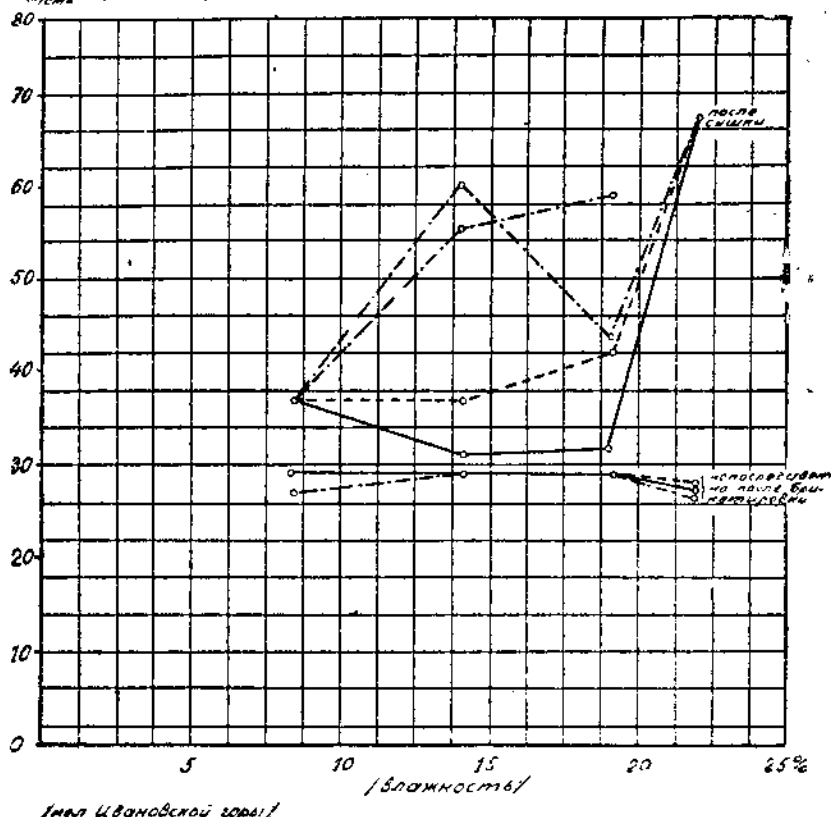


Диаграмма № 2.

Рассмотрение результатов испытаний приводит к следующим обобщающим выводам:

1. С увеличением влаги в меле до 10 проц. прочность брикетов все возрастает.
2. С увеличением влаги в брикете с 10 до 15 проц. увеличения прочности не замечается.
3. С увеличением влажности мела с 15 до 20-22 проц. прочность брикета продолжает возрастать.
4. Давление, под которым производится процесс брикетирования, имеет влияние на прочность брикета. С постепенным увеличением давления — 50—100 атм прочность

инекта возрастает, однако же не пропорционально увеличению влажности, а отстает от него.

5. Высушенный брикет становится значительно прочнее.

6. После обжига брикет становится слабее, чем после сушки, однако прочность его значительно выше, чем во влажном состоянии.

7. Влияние влажности мела и давления на прочность брикета сильно выявляется после сушки и обжига; в невысушенному брикету давление и влажность оказывают ничтожное влияние на его прочность.

8. Известь (в брикетах), оставленная на открытом воздухе, через 2—4 дня разрыхляется и распадается; прикрытый же опилами или стружками брикет обожженного мела сохраняется долгое время в целом виде.

* * *

Рассматривая процесс брикетирования мела с точки зрения мицеллярной теории Нагеля¹, можно обяснить вышеуказанные явления, замеченные при процессе брикетирования, следующим образом.

Когда мел сухой, отдельные частицы его находятся друг от друга на некотором расстоянии; центральные молекулярные силы между частицами действуют друг на друга слабо. Сближению этих частиц и более плотной их укладке (под влиянием давления) мешает сцепление частиц одной о другую. С прибавлением воды до 10 проц. частицы мела, под влиянием поверхностных сил, покрываются тонким молекулярным слоем воды.

Этот слой воды, удерживаемый поверхностными частицами мела, делает молекулы воды менее подвижными; вода служит, как бы склеивающим веществом между частицами брикета и от этого он становится более прочным.

С увеличением влажности мела, примерно с 10 до 15 проц. влага идет на заполнение пазух между отдельными частицами мела и на изменение прочности брикета особенно большого влияния не имеет.

С увеличением влажности мела до 20—25 проц. частицы его становятся все более подвижными и под давлением пресса плотнее укладываются, приближаясь друг к другу. Когда после сушки вода из мела удаляется, то плотно уложенные частицы мела еще дальше сближаются, молекулярные силы этих частиц выступают сильнее и брикеты мела становятся прочнее.

¹ „Die Micellartheorie“—Ostwald: „Klassiker der exakten Wissenschaften“ 227—1928.

Таким образом частицы мела в брикете, если мел имел определенное количество влаги, находятся под влиянием следующих сил:

1. Центральных сил, действующих между частицами мела; при этом эти силы значительно возрастают с приближением частиц друг к другу.
2. Центральных сил, действующих между молекулами мела и воды.
3. Поверхностных сил, действующих на границе мела и воды.
4. Сил трения.

Прочность брикета обуславливается тем или другим взаимодействием указанных сил. Для получения прочного брикета нужно соответствующим образом использовать эти силы.

С количественной стороны получаемые результаты опытов по брикетированию показывают, что с увеличением влажности мела с 4 до 20 проц. и давления от 90 до 150 ат. брикеты выдерживают на раздавливание:

1. Сейчас-же после прессовки (невысущенные) от 7,4 до 14 кг/см².
2. После сушки—от 14 до 95 кг/см².
3. После обжига—от 11 до 82 кг/см².

Меньшие цифры относятся к меньшей влажности и меньшим давлениям, а большие—к влажности соответственно 20 проц. и большим давлениям.

Как видно из вышеприведенных цифр и диаграмм, соответственным подбором влажности и давления брикетирования можно сделать брикет более прочным: во влажном состоянии на 100 проц. после сушки—на 700 проц. и после обжига—на 800 проц. по отношению к мелу в этих-же стадиях без предварительной подготовки.

Влияние влажности на прочность брикета выявляется в следующем виде:

1. Для влажного невысущенного брикета влияние влажности сильнее оказывается на прочности его при малых давлениях брикетирования и слабее—при больших давлениях.

2. При малых влажностях брикета давление брикетирования оказывается сильнее на его прочности, при больших влажностях—слабее.

3. Решающее значение на прочность брикета *после сушки и обжига* имеет влажность мела *до брикетирования*.

Все эти явления легко об'яснить действием на частицы мела вышеуказанных сил при разных условиях выработки брикета.

Состав мела имеет также громадное значение в брикетировании и влияет на прочность брикета. Некоторые скачки на диаграммах получились от неоднородности мелов, над коими нам пришлось работать. Работали-же мы над климовическими мелами,

анализы коих даны в прилагаемой таблице. Однако характер процесса для всех образцов является общим.

Образец	Потери при прокаливании	SiO ₂	R ₂ O ₃	CaO	MgO
Мел, из ур. Ивановского (по паспорту Георазведки) . . .	42,75	8,72	2,40	65,97	следы
Мел, привез. Георазведкой. . .	37,52	10,03	5,02	47,08	1,2
Мел, взятый из карьера Белстроймат.	37,62	9,95	4,66	47,28	0,5
Мел, отобранный фибролитовым заводом Белгосстроя и взятый на 3-х высотах:					
На верхнем уровне	36,14	12,13	6,51	45,93	
На среднем уровне	40,85	5,38	3,32	51,05	
На ниж. уровне (плотн.)	13,44	13,58	6,15	45,00	
Мел. Держинского района	41,41	5,01	1,03	51,17	

III. МАКСИМАЛЬНАЯ ВЫСОТА ШАХТНОЙ ПЕЧИ ДЛЯ ОБЖИГА МЕЛА В БРИКЕТАХ

Брикеты, выдерживающие после обжига (при испытании их на раздавливание) 82 кг/см², выдержали бы давление столба брикетов определенной высоты. Высоту этого столба можно найти из уравнения:

$$\frac{\gamma \cdot H}{1000} = 82,$$

где γ —удельный вес брикета = 1,55 — 1,47, а H —высота столба в см, откуда $H = 55600 \text{ см} = 556 \text{ м}$.

Исходить из этой цифры при установлении максимальной высоты шахты, на какую можно ориентироваться при проектировании печи для обжига мела в брикетах, однако, нельзя.

Брикеты в шахтную печь подаются в навалку. Внизулежащим в шахте брикетам приходится выдерживать на себе не сплошной столб меловых брикетов во всю высоту шахты, а облегченный пустотами между брикетами. Это должно, с одной стороны, увеличить возможную высоту шахты по сравнению с вышерасчитанной, но, с другой стороны, давление часто воспринимается брикетом не той гранью, которая может выдержать наибольшее давление,

а чаще оно воспринимается только частью грани, которая переходит иногда в линию или точку.

Такие неравномерно распределенные нагрузки на брикет должны в нем вызвать большие местные напряжения, под влиянием которых он разрушается при гораздо меньшей высоте шахты, как 556 метров. Чтобы установить на какую-ж однако высоту можно ориентироваться при проектировании шахты для обжига меловых брикетов, мы прибегали к следующему приему.

В круглую железную коробку диаметром в 22 см, и высотою в 25 см, были беспорядочно навалены брикеты. Верх коробки накрыли деревянной, плотной, круглой крышкой, диаметр которой был несколько меньше диаметра коробки, так что крышка свободно входила в железную коробку.

Подставив так приготовленную коробку с брикетами под пресс Амслера, мы производили на крышку давление с различной силой и, раскрывая каждый раз после давления коробку, перебирали находящиеся в ней под давлением брикеты и определяли количество и характер попорченных брикетов соответственно данному давлению.

Пользуясь этой-же коробкой устанавливали удельный об'ем брикетов, сложенных в навалку, и одновременно удельный вес собственно брикетов.

Опыты производились с брикетами в обожженном и необожженном виде. Результаты этих опытов таковы:

Удельный вес брикета обожженной извести . . . 1,04—0,8.
брикета необожженного сухого мела—1,56—1,47.

Об'емный вес сложенных в навалку брикетов, имеющих цилиндрическую форму, диаметра $D=5$ см и высоты $H=7,5$ см, оказался равным 0,8

Отношение об'ема, занимаемого этими брикетами в шахте к об'ему самой шахты будет: 0,8: 1,56=0,51.

Высушенные и сложенные в навалку в коробку брикеты подвергались давлению в 0,8 ат. После раскрытия коробки обнаружилось: целых брикетов 86 проц., лопнувших пополам—14 проц. Давление пресса в 0,8 ат соответствует давлению на дно шахты, имеющей высоту в 10 метров, наполненной в навалку брикетами из мела.

После замены в коробке лопнувших брикетов целыми коробка подверглась вторично повышенному давлению до 1,41 ат.

По раскрытии коробки оказалось:

Целых брикетов	57,7%
Половинок	30,8 .
Раздробленных.	11,5 .

Давлению в 1,41 ат соответствует давление на дне шахты, имеющей высоту в 17,6 м при наполнении ее необожженными брикетами.

Тем-же испытаниям подвергались брикеты и обожженные, имевшие диаметр в 4,8 см а высоту—6,5 см.

Отношение об'ема, занимаемого брикетами из обжженного мела в шахте, к об'ему самой шахты=0,47.

При давлении на крышку коробки в 1,78 ат ни одного лопнувшего брикета не оказалось. Этому давлению соответствует давление на дно шахты, имеющей 14,3 м высоты и наполненной необожженными брикетами из мела.

При давлении в 2,64 ат оказалось:

Целых брикетов	48,4%
Половинок	31 „
Раздробленных.	20,6 „

Этому давлению соответствует высота шахты в 33 метра. Таким-же испытаниям были подвергнуты обожженные брикеты, имевшие диаметр в 3,7 см, а высоту в 5,1 см; результаты испытания получились следующие.

Отношение об'ема, занимаемого собственно брикетами, к об'ему шахты, занятой брикетами вышеуказанных размера, равнялось 0,53.

Когда эти брикеты были сложены в навалку и подверглись давлению в 1,07 ат, то ни один из брикетов не был раздавлен. Этому давлению соответствует давление брикетов на дно шахты, имеющей высоту в 13,4 метра. При повторном давлении в 4 ат было раздавлено 6,7% брикетов. Давлению в 4 ат соответствует высота шахты в 50 метров.

Исходя из вышеуказанных результатов испытания можно полагать, что брикеты мела, обожженные в шахте высотою в 10—13 м, дадут сравнительно небольшой процент мелочи.

Учитывая постановку данного опыта можно думать, что определяя возможную высоту шахты в 10—13 м, мы делаем ошибку в сторону преуменьшения возможной высоты шахты, по следующим соображениям.

По чисто техническим затруднениям нам пришлось формовать брикеты для данного опыта вручную на винтовом прессе и об однородности и максимальной прочности полученного брикета говорить не приходилось. Это можно видеть из того, что брикеты, сформованные для предыдущих опытов нормально, прессом Амслера, выдерживали давление, как это было приведено раньше, от 11 до 96 кг/см²; брикеты-же, приготовленные на ручном прессе для этого опыта, выдерживали 2,75—6,25 кг/см².

При определении высоты шахты мы считали, что вся она заполнена необожженным мелом удельного веса 1,56; фактически же вся часть шахты будет наполнена необожженными и полуобожженными брикетами и это еще уменьшит давление на брикеты, находящиеся у основания печи.

Вышеуказанные результаты исследования процесса брикетирования и прочности брикетов при разных условиях дают нам

основание полагать, что обжиг рыхлого мела можно производить с успехом в печах высотою в 10—13 метров. То что процессом брикетирования мы можем получить куски мела для загрузки в печь определенной формы и величины, дает нам в руки дополнительные рычаги, коими мы можем действовать на процесс обжига в сторону его ускорения и этим улучшить работу печи и увеличить ее производительность.

Чтобы успешно действовать этими рыгачами, нужно ближе ознакомиться с процессами, кои происходят в шахте, где обжигается мел, изучить изменения, какие претерпевает мел за время его обжига в шахте, изучить те факторы, которые влияют на ведение процесса обжига, направление этого влияния и выразить эти зависимости в математической форме. Это даст нам возможность подобрать и рассчитать нужные для обжига данного сырья приборы, аппараты, печи и т. д., а также заранее определить как выгоднее вести процессы обжига, чтобы получить наилучшие результаты.

IV. АНАЛИЗ ПРОЦЕССОВ ОБЖИГА МЕЛА В РАЗНЫХ ЗОНАХ ШАХТНОЙ ПЕЧИ

В верхней части шахты происходит нагрев и потеря влаги опущенного в шахту куска мела. По мере потери влаги и опускания куска глубже в шахту, температура его все повышается и когда она на его поверхности достигает 810° — 900° , начинается более быстрый процесс диссоциации CaCO_3 на CaO и CO_2 .

Фактически процесс диссоциации начинается еще раньше, чем поверхность брикета достигает указанной температуры, но этот процесс, как увидим дальше, при более низких температурах идет очень вяло и мы его практически можем в расчет не принимать.

Когда процесс диссоциации заканчивается, наступает охлаждение обожженного мела воздухом, проходящим через низ шахты. При установившейся работе печи каждый из указанных процессов происходит в определенной ее зоне.

Таким образом по процессам, происходящим в шахте с мелом на разной высоте ее можно последнюю разделить на следующие 4 зоны:

1. Зона сушки.
2. Зона нагрева.
3. Зона диссоциации.
4. Зона охлаждения.

Строго говоря, резких границ между этими зонами нет; сложные по последовательности процессы часто происходят одновременно в одном куске обжигаемого продукта; при неодинаковых размерах обжигаемых кусков мела могут происходить разные процессы в одном месте шахты в разных кусках.

Однако, для упрощения математических выкладок, примем указанное выше разделение шахты по зонам, тем более, что нам придется иметь дело с брикетами, имеющими правильную форму и одинаковые размеры; тогда границы между отдельными зонами будут более резко очерчены и ошибка от нашего допущения будет незначительна.

Поскольку мы имеем дело с обжигом рыхлого и слабого вещества, хотя бы и уплотненного путем брикетирования, нам, для более верного решения поставленной задачи, нужно принять все зоны, чтобы можно было строить печи с наименьшей высотой шахты и таким образом разгрузить внизулежащие брикеты от собственного веса вверхулежащего слоя. Это может быть достигнуто ускорением процессов, идущих во всех зонах шахты. Такое ускорение процесса и уменьшение высоты шахты дадут нам другие преимущества в процессе обжига мела, а именно: уменьшение сопротивления тяги и увеличение производительности печи. Чтобы иметь возможность провести ускорение этих процессов нам нужно предварительно изучить какие факторы и в какой степени влияют на процессы, идущие в каждой зоне в отдельности.

а) Процесс диссоциации CaCO_3

Начнем с зоны диссоциации, где происходит процесс наиболее продолжительный, наиболее важный, наиболее ответственный и наиболее теплоемкий.

На процессы диссоциации CaCO_3 существовали до Гей-Люссака однообразные взгляды и только Гей-Люссак дал впервые этому процессу обяснение, которое вносит ясность в этот процесс. Его объяснение соответствует современным взглядам физической химии на этот процесс.

Гей-Люссак говорит: „Если углекислый кальций нагревать до определенной точки, при которой он начинает разлагаться, то вокруг него образуется атмосфера углекислоты, которая препятствует свободному дальнейшему его выделению.

Если же должна выделяться углекислота, то она должна преодолеть давление атмосферы. Поэтому нужно применить более высокую температуру или же освободить окружающую атмосферу от углекислоты путем образования вакуума или при помощи другого газа, например атмосферного воздуха“¹⁾.

Дальнейшие исследования этого процесса показали, что существует определенная зависимость между температурой, при которой происходит термический распад CaCO_3 , и упругостью CO_2 над поверхностью разлагающегося углекислого кальция: чем давление углекислоты над поверхностью CaCO_3 при данной температуре выше, тем процесс распадания CaCO_3 идет медленнее.

¹⁾ An. de chemie et de Physique, t. 63, стр. 220..

Зависимость между упругостью CO_2 , над поверхностью CaO при обжиге и температурой обжига дается разными авторами с расхождением чуть-ли не на 100° , так напр., Ле-Шатель определил упругость CO_2 над известковым в 1 атмосферу при температуре обжига 812° , Потт—при температуре 900° , Цаврие—при температуре 910° .

Ле-Шателье, Потт и Джонсон дают кривые¹⁾ зависимости между давлением CO_2 и температурой обжига, как нами указано в прилагаемой сравнительной диаграмме № 3.

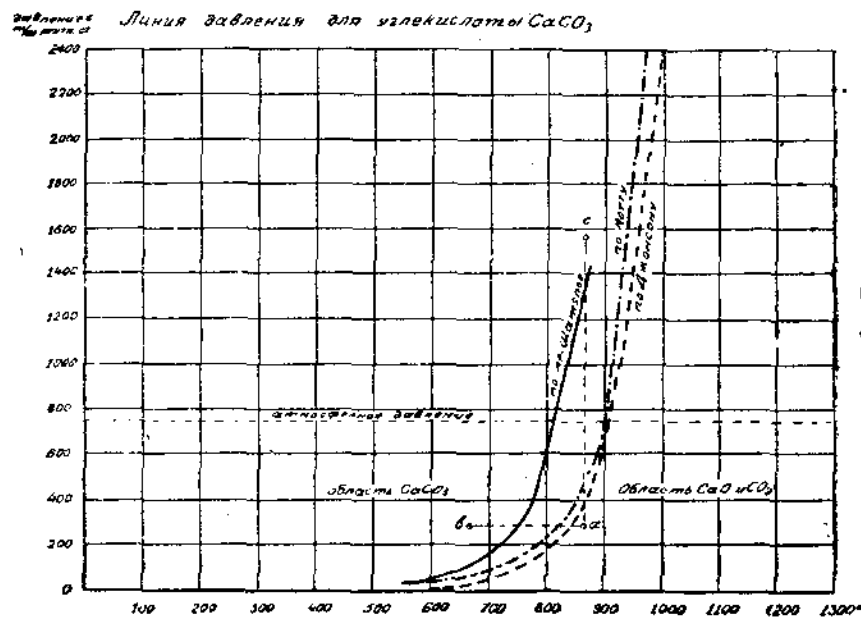


Диаграмма № 3.

Из этой диаграммы мы видим, что около температур обжига в $900-810^\circ$ кривая упругости CO_2 очень крута, т. к. небольшому изменению в ту или другую сторону температуры обжига соответствует значительное изменение давления CO_2 ; следовательно и скорость процесса обжига должна соответственно изменяться.

По данным Герцфельда²⁾ изменение температуры обжига на 100° ускоряет или замедляет процесс диссоциации в 30 раз.

¹⁾ Le-Chatelier „О диссоциации углекислого кальция“ Paris; Compte rendu 102:1886, стр. 1243.

Pott P Dissertation, Freiburg 1905.

J Jonstón—Journal of amer. Chem. 1901, стр. 938.

Zavriev—Chem. Kalender 1917, т. 2, стр. 228.

²⁾ Herzfeld—Festschrift für Eröffnung des Instituts für Zuckerindustrie. 1904.

Это говорит о том, что для ускорения процесса обжига чрезвычайно важно иметь в шахте в зоне обжига настолько высокую температуру, насколько это позволяет огнестойкость материалов печи и состав обжигаемого продукта. Однако же нужно помнить, что под влиянием слишком высоких температур, в зависимости от химического состава, примеси CaCO_3 , могут образоваться нежелательные для наших целей химические соединения и сплавы.

Можно было ожидать, что куски CaCO_3 , доведенные до температуры в $810-900^\circ$ и выше должны были быстро диссоциировать, если их обеспечить притоком достаточного количества тепла, необходимого для разложения CaCO_3 , однако же на деле этого не замечается; процесс обжига при этих температурах идет очень медленно, в особенности если CaCO_3 взять для обжига в крупных кусках.

Некоторые авторы пробовали объяснить медлительность процесса обжига CaCO_3 в кусках временем, необходимым для того чтобы CO_2 успел диффундировать изнутри куска к его поверхности, откуда он должен удалиться в окружающую атмосферу. Однако же, сделанные на основе этих предположений подсчеты времени обжига не оправдались опытом. Время, нужное на диссоциацию, оказалось на опыте гораздо большее, чем оно было взято по расчету. Следует полагать, что фактором, обуславливающим скорость диссоциации при обжиге, является не диффузия, а условие перехода тепла от газа в мел и проникновения этого тепла в средину куска.

Блок в своем капитальном труде „Das Kalkbergnen“ дает следующую формулу для определения времени обжига.

$$OKUZ = g \cdot 425,$$

где О—поверхность обжигаемого куска, К—коэффициент теплопередачи, равный $\frac{1}{\alpha} + \frac{\delta}{\lambda}$, U—перепад температур между обжигаемым куском и нагревающими газами, Z—время обжига, в часах g —вес обжигаемого мела в тоннах.

Отсюда можно видеть, что решающим фактором продолжительности обжига CaCO_3 Блок считает условие теплопроводности.

К сожалению, указанная формула, данная Блоком, недостаточно обоснована с точки зрения теории теплопередачи и она дает неправильные результаты при проверке ее на опыте.

Попытаемся установить, как должен пойти процесс обжига CaCO_3 во времени, если решающим фактором явится условие притока тепла к обжигаемому продукту, положивши в основу нашего исследования теорию теплопередачи.

6) Скорость процесса обжига с точки зрения теории теплопередачи

Между горячими газами, омывающими продукт обжига, и обжигаемым куском, образуется тепловое поле. Тепловому потоку, идущему в этом поле от газа к поверхности, на которой проис-

ходит диссоциация, встречаются следующие сопротивления: переходное сопротивление у поверхности куска мела и сопротивление слоя, заключенного между наружной поверхностью куска и поверхностью, на которой происходит диссоциация.

По мере того, как кусок мела обжигается, поверхность диссоциации уходит, как об этом подробно сказано ниже, во внутрь куска и тепловому потоку приходится преодолевать все большие и большие сопротивления.

Поверхность диссоциации, на которую тепловой поток несет свою энергию, уменьшается и эти два фактора—увеличение сопротивления и уменьшение поверхности—должны служить главными причинами замедления скорости выделения CO_2 обжигаемым куском (по мере хода процесса) и это обуславливает влияние размера куска на скорость обжига.

Кусок CaCO_3 , попадая в шахту, как мы уже сказали, высушивается, нагревается и, когда его поверхность достигает температуры, при которой упругость CO_2 на поверхности куска становится выше упругости окружающей атмосферы, CaCO_3 начинает диссоциировать. Когда процесс диссоциации на поверхности куска оканчивается, поверхность, на которой происходит диссоциация, уходит все глубже и глубже внутрь куска ближе к его центру.

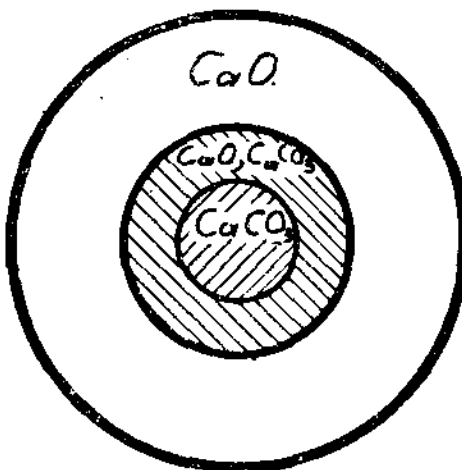
На границе между наружным обожженным слоем, который состоит из CaO и внутренним необожженным, имеется неширокая зона перехода от CaCO_3 к CaO , где процесс диссоциации не закончился. (См. схему обжига куска мела).

Определим какова должна быть продолжительность обжига куска CaCO_3 в зависимости от его размера, температуры, при которой он будет обжигаться, и его физических свойств как плотности, коэффициента теплопередачи, теплопередачи и т. д.

Раньше всего заметим, что продолжительность обжига куска CaCO_3 , не имеющего выступающих частей, находится в зависимости от величины его наименьшего размера в наименьшем медиальном сечении, так как поверхность, на которой происходит диссоциация, углубляется по мере обжига внутрь куска по всем 3-м измерениям с более или менее одинаковой скоростью и процесс диссоциации куска кончится тогда, когда один из размеров, наименьший по величине в медиальном сечении, превратится в нуль. В дальнейшем увидим, что куски с плоской поверхностью обжигаются быстрее кусков с кривыми поверхностями.

Рассмотрим динамику процесса обжига куска CaCO_3 , ограниченного цилиндрической поверхностью и 2-мя плоскостями на торцах. Пусть эти цилинды имеют длину столь значительную по сравнению с диаметром, что действием торцевых поверхностей по сравнению с цилиндрической можно пренебречь.

При неоконченном процессе обжига сечение куска мела будет иметь вид, изображенный на схеме № 1, т. е. поверхностный слой мела будет обожжен, в середине же остается необожженный сердечник; а по мере того, как тепловой поток, идущий от поверхности куска к поверхности диссоциации принесет на эту поверхность определенное количество тепла, нетолстый слой сер-



№ 1. Схема обжига куска мела:

дечника, соответствующий полученному количеству тепла, диссоциирует и поверхность диссоциации уходит дальше вглубь куска.

Величина теплового потока обусловится температурой наружной среды— T , температурой на поверхности куска— Θ_a , температурой, над поверхностью диссоциации— Θ_b , коэффициентом теплопередачи— α , коэффициентом теплопроводности— λ в слое CaO между наружной поверхностью куска и поверхностью, на которой происходит диссоциация.

Температуру окружающей наружной среды— T , считаем постоянной, температуру поверхности диссоциации тоже постоянной, равной 810-900° (в среднем 850°).

Сердечник, подлежащий обжигу, считаем, был нагрет заранее до температуры диссоциации.

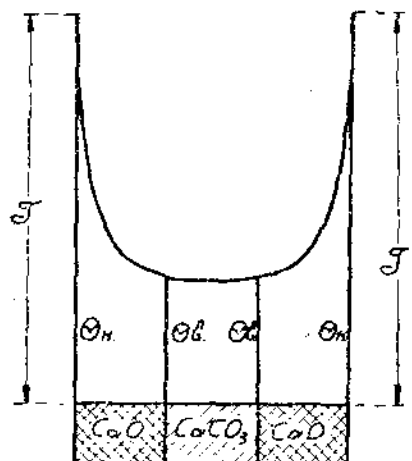
Найдем величину теплового потока и скорость, с какой поверхность диссоциации пойдет внутрь куска во время процесса обжига.

Кривая температур по диаметру какого-нибудь диаметрального сечения цилиндра брикета будет иметь вид, как указано на схеме № 2

Тепловой поток, направляющийся к поверхности диссоциации, оставит часть тепла в слое обожженной извести, где температура

вследствие этого (за время обжига) будет подниматься. Это количество тепла незначительно по сравнению с тем теплом, которое тепловой поток принес на поверхность диссоциации.

Для обжига одного килограмма мела требуется 425 калорий. Температура брикета мела до диссоциации была, как мы уже условились, 850° . К концу диссоциации температура в центре была не выше 850° (температуры диссоциации); температуру же на поверхности куска примем равной 1100° (температура нагревающего газа), следовательно тем-



№ 2 Схема распределения температур по диаметру сечения брикета за время обжига могла подняться в среднем на

$$\frac{1100^{\circ} - 850^{\circ}}{2} = 125^{\circ}.$$

Считая удельную теплоемкость извести — 0,21 и выход из 1 кг мела — 0,56 кг извести, получаем, что теплота, оставляемая потоком в брикете, будет порядка:

$$125 \times 0,21 \times 0,56 = 14,7 \text{ калорий},$$

что составляет около 3,1 проц. от всего количества тепла, приносимого тепловым потоком, идущим на диссоциацию.

В наших дальнейших выводах мы пренебрегаем теплотой, оставляемой потоком в самом брикете извести, делая при этом незначительную ошибку в наших расчетах.

Обозначив (см. схему № 3) через $\frac{dD}{2}$ толщину элементарного слоя брикета, через который проходит тепловой поток, через

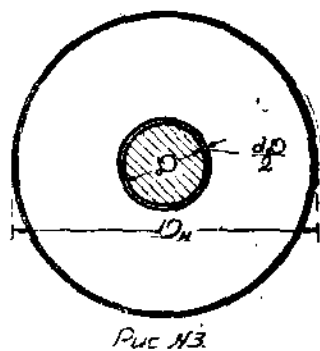


Рис № 3

D — диаметр этого слоя, λ — теплопроводность вещества слоя, $d\Theta$ — перепад температуры на обоих поверхностях элементарного слоя, тогда dQ , т. е. количество тепла, которое пройдет через слой за элемент времени dt , будет:

$$dQ = \frac{\pi \cdot D \cdot \lambda \cdot d\Theta}{\frac{dD}{2}}. \quad (1)$$

Но это же количество тепла пройдет в тот же элемент времени и через наружную поверхность брикета, а потому можем написать:

$$\alpha \cdot \pi \cdot D_a (T - \Theta_a) = \frac{2\pi D \lambda d\Theta}{dD},$$

откуда:

$$\frac{dD}{D} = \frac{2\lambda \cdot d\Theta}{\alpha(T - \Theta_a) D_a}.$$

Проинтегрировав это выражение в пределах от $D=D_a$ до $D=D_b$ и соответственно этому $\Theta=\Theta_a$ до $\Theta=\Theta_b$ получим

$$\int_{D_a}^{D_b} \frac{dD}{D} = \frac{2\lambda}{\alpha D_a (T - \Theta_a)} \int_{\Theta_a}^{\Theta_b} d\Theta = \ln \frac{D_b}{D_a} = \frac{2\lambda (\Theta_b - \Theta_a)}{\alpha D_a (T - \Theta_a)},$$

откуда находим значение для температуры наружной поверхности брикета равной:

$$\Theta_a = \frac{D_a \cdot T \ln \frac{D_a}{D_b} + 2\lambda \Theta_b}{2\lambda + \alpha D_a \ln \frac{D_a}{D_b}}. \quad (2)$$

Мы вывели это ^{точное} отношение для данного момента времени, предполагая, что за этот бесконечно малый элемент времени внутренний диаметр необожженного брикета не изменяется.

Из этого ^{точного} отношения мы видим, что температура наружной поверхности брикета Θ_a зависит от отношения $\frac{D_a}{D_b}$ и это выражение останется верным во все время процесса обжига. Чтобы получить общее выражение для Θ за все время процесса обжига, поставим вместо D_b переменный D . Если при этом обозначить $\frac{\alpha}{2\lambda} D_a \ln \frac{D_a}{D_b}$ через m , то выражение (2) примет вид:

$$\Theta_a = \frac{\Theta_b + mT}{1 + m}. \quad (3)$$

Как мы уже видели, количество тепла, которое вносится в обжигаемый кусок CaCO_3 за элемент времени dt будет:

$$dQ = \alpha \pi D_a (T - \Theta_a) dt. \quad (4)$$

Это тепло идет на проведение процесса диссоциации в определенном количестве мела. Допустим, что элемент времени dt радиус недиссоциированного цилиндра уменьшится на величину $\frac{dD}{2}$.

Обозначая удельный вес CaCO_3 через γ и принимая, что для разложения 1 кг этого вещества нужно 425 калорий, можно написать уравнение:

$$\alpha \cdot \pi D_a (T - \Theta_a) dt = \frac{\pi D \cdot dD}{2} \gamma \cdot 425 \cdot 10^3. \quad (5)$$

Правую часть уравнения (5) мы умножили на 10^3 , так как D выражено в метрах и тогда выражение $\frac{\pi D dD}{2} \gamma$ будет в тоннах, следовательно 425 нужно умножить на 10^3 .

Как мы уже раньше указали, Θ_a является функцией от D , а потому после разделения переменных из уравнения (5) получим:

$$dt = \frac{\gamma \cdot 425 \cdot 10^3 D \cdot dD}{2\alpha D_a (T - \Theta_a)}. \quad (6)$$

Подставим в это выражение вместо Θ_a его значение из уравнения 3-го, получим:

$$dt = \frac{\gamma \cdot 425 \cdot 10^3 D \cdot dD}{2\alpha D_a \left(T - \frac{\Theta_a + mT}{1+m} \right)}. \quad (7)$$

Значение $\frac{\Theta_a + mT}{1+m}$ преобразуем, прибавляя и отнимая от его числителя $\Theta_a m$; тогда оно представится в виде:

$$\Theta_a + \frac{m}{m+1} (T - \Theta_a). \quad (8)$$

Подставив в уравнение (7) вместо $\frac{\Theta_a + mT}{1+m}$ его значение (8), получим:

$$dt = \frac{425 \cdot 10^3 \cdot \gamma \cdot D dD}{2\alpha D_a \left[T - \Theta_a + \frac{m}{m+1} (T - \Theta_a) \right]} = \frac{425 \cdot 10^3 \cdot \gamma \cdot D \cdot dD}{2\alpha D_a (T - \Theta_a) \frac{m+1-m}{m+1}} = \\ = \frac{425 \cdot 10^3 \cdot \gamma \cdot (m+1) D \cdot dD}{2\alpha D_a (T - \Theta_a)}.$$

Подставляя вместо m его значение получим:

$$dt = \frac{425 \cdot 10^3 \cdot \gamma \left(1 + \frac{\alpha}{2\lambda} D_a \ln \frac{D_a}{D_s} \right) D dD}{2\alpha D_a (T - \Theta_a)}. \quad (9)$$

Время, потребное для обжига брикетов, найдется, если проинтегрировать уравнение 9 в пределах от $t=0$ до $t=\tau$.

Принимая во внимание, что когда $t=0$, то $D=D_a$, а когда $t=t_a$, то $D=0$, можем написать:

$$\begin{aligned} & \int_0^{t_a} dt = t_a = \\ & = \frac{425 \cdot 10^3 \cdot \gamma}{2\alpha D_a(T-\Theta_s)} \left[\left(1 + \frac{\alpha}{2\lambda} D_a \ln D_a \right) \int_{D_a}^0 D dD - \frac{\alpha}{2\lambda} D_a \int_{D_a}^0 \ln \frac{D^2}{2} \frac{d(D^2)}{2} \right] = \\ & = \frac{425 \cdot 10^3 \cdot \gamma}{2\alpha D_a(T-\Theta_s)} \left[\left(1 + \frac{\alpha}{2\lambda} D_a \ln D_a \right) \frac{D_a^2}{2} - \frac{\alpha}{8\lambda} \left(D_a^3 \ln D_a^2 - D_a^3 \right) \right] = \\ & = \frac{425 \cdot 10^3 \cdot \gamma \cdot D_a^2}{2\alpha D_a(T-\Theta_s)} \left(1 + \frac{\alpha}{2\lambda} D_a \ln D_a - \frac{\alpha}{4\lambda} D_a \ln D_a^2 + \frac{\alpha}{4\lambda} D_a \right); \end{aligned}$$

но $\frac{\alpha}{2\lambda} D_a \ln D_a = \frac{\alpha}{4\lambda} D_a \ln D_a^2$, а потому:

$$t_a = \frac{425 \cdot 10^3 \cdot \gamma}{4(T-\Theta_s)} \left(\frac{D_a}{\alpha} + \frac{D_a^2}{4\lambda} \right) = \boxed{\frac{\gamma \cdot 10^6}{T-\Theta_s} \left(\frac{D_a}{\alpha} + \frac{D_a^2}{4\lambda} \right)}. \quad (1)$$

Таким-же путем определим время обжига CaCO_3 , если его брикеты имеют вид плиты, толщину которой обозначим через $2H$, где $2H$ является наименьшим размером этого брикета. Рассуждая здесь так-же, как и выше по отношению к цилиндрическому брикету и обозначая через Ω единицу поверхности брикета, можем написать:

$$\alpha(T-\Theta_p) \Omega dt = \frac{\Omega \lambda d\Theta}{dH},$$

откуда

$$dH = \frac{\lambda d\Theta}{\alpha(T-\Theta_p)}.$$

Проинтегрировав это выражение в пределах от $H=H_a$ до $H=H_s$, получим:

$$\int_{H_a}^{H_s} dH = \frac{\lambda}{\alpha(T-\Theta_s)} \int_{\Theta_s}^{\Theta_a} d\Theta = H_s - H_a = \frac{\lambda(\Theta_s - \Theta_a)}{\alpha(T-\Theta_a)},$$

откуда:

$$\begin{aligned} & \alpha(H_s - H_a) T - \alpha \Theta_a (H_s - H_a) = \lambda (\Theta_s - \Theta_a) \\ & \text{и } \Theta_a = \frac{\alpha(H_s - H_a) T + \lambda \Theta_s}{\lambda + \alpha(H_s - H_a)} = \frac{\frac{\alpha}{\lambda} (H_s - H_a) T + \Theta_s}{1 + \frac{\alpha}{\lambda} (H_s - H_a)}. \quad (10) \end{aligned}$$

Обозначив $\frac{\alpha}{\lambda}(H_e - H_s)$ через m_1 получим из уравнения (10):

$$\Theta_s = \frac{m_1 T + \Theta_s}{1 + m_1}. \quad (11)$$

Из условия поглощения тепла, приносимого тепловым потоком процессом диссоциации, можем написать, как и в первом случае:

$$Q(T - \Theta_s)dt = Q \cdot \gamma \cdot 425 \cdot 10^3 \cdot dH,$$

откуда:

$$dt = \frac{\gamma \cdot 425 \cdot 10^3}{\alpha(T - \Theta_s)} dH. \quad (12)$$

Подставив вместо Θ_s в уравнение 12 его значение из уравнения (11), получим:

$$dt = \frac{425 \cdot 10^3 \cdot \gamma dH}{\alpha \left(T - \frac{\Theta_s + m_1 T}{1 + m_1} \right)} = \frac{\gamma \cdot 425 \cdot 10^3 dH}{\alpha \left(T - \frac{\Theta_s + m_1 \Theta_s - m_1 \Theta_s + m_1 T}{1 + m_1} \right)},$$

откуда:

$$dt = \frac{425 \cdot 10^3 \cdot \gamma dH}{\alpha(T - \Theta_s) \left(1 - \frac{m_1}{1 + m_1} \right)} = \frac{425 \cdot 10^3 \cdot \gamma (1 + m_1) dH}{\alpha(T - \Theta_s)};$$

подставляя вместо m_1 его значение получим:

$$dt = \frac{\gamma \cdot 425 \cdot 10^3}{\alpha(T - \Theta_s)} \left[1 + \frac{\alpha}{\lambda} (H_e - H) \right] dH = \\ = \frac{\gamma \cdot 425 \cdot 10^3}{\alpha(T - \Theta_s)} dH + \frac{\gamma \cdot 425 \cdot 10^3 \cdot \alpha (H_e - H) dH}{\alpha(T - \Theta_s) \lambda}.$$

Интегрируя это выражение в пределах от $t=0$ до $t=\tau_n$, и соответственно от $H=H_e$ до $H=0$ получим:

$$\int_{H_e}^{H_n} dt = \tau_n = \frac{\gamma \cdot 425 \cdot 10^3}{\alpha(T - \Theta_s)} \int_{H_e}^0 dH + \frac{\gamma \cdot 425 \cdot 10^3 \alpha}{(T - \Theta_s) \lambda} \int_{H_e}^0 (H_e - H) dH = \\ = \boxed{\frac{\gamma \cdot 425 \cdot 10^3}{T - \Theta_s} \left(\frac{H_e}{\alpha} + \frac{H_e^2}{2\lambda} \right)} \quad (13)$$

Определим во сколько раз плоский брикет обжигается быстрее или медленнее цилиндрического брикета, имеющего диаметр, равный толщине плиты. При этом предполагая, что все остальные условия обжига и свойства материалов одинаковы, можем написать:

$$\tau_{\text{ц}} : \tau_{\text{п}} = \frac{1}{4} \left(\frac{D_{\text{п}}}{a} + \frac{D_{\text{п}}^2}{4\lambda} \right) : \left(\frac{H_{\text{п}}}{a} + \frac{H_{\text{п}}^2}{2\lambda} \right),$$

но $D = 2H$; подставляя, получим:

$$\tau_{\text{ц}} : \tau_{\text{п}} = 2,$$

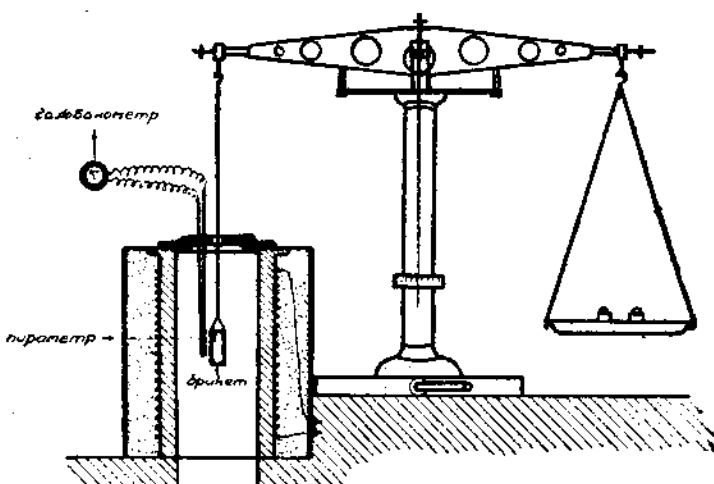
медленнее

т. е. плита будет обжигаться в два раза *быстрее* цилиндра.

Формулы I и II выведены нами чисто математически, исходя из теории теплопроводности и показывают функциональную зависимость между временем процесса обжига брикета и остальными факторами, влияющими на этот процесс (формой и размерами брикета, свойствами обжигаемого материала, температурой среды, в которой обжигаются материалы, и температурой диссоциации).

в) Экспериментальная проверка теоретических выводов

Чтобы убедиться насколько эти теоретические выводы соответствуют действительности, нами были проведены проверочные опыты по следующей схеме.

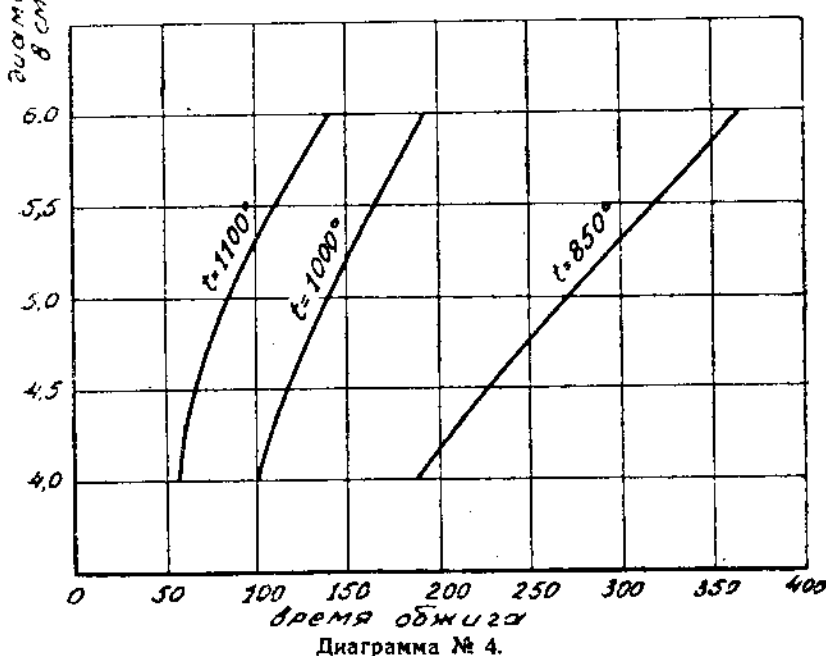


№ 4 Схема. Установка весов для определения потерь при прокаливании.

Электрическая селитовая печь (схема № 4) была поставлена вертикально дверцами кверху. Над отверстием печи на полочке были приспособлены весы. К одной из чашек весов, которая приходилась какраз против отверстия печи, был прикреплен на проволоке цилиндрический брикет из мела; этот меловой брикет

опускался в печь, накаленную до определенной температуры и эта температура поддерживалась за все время опыта. Одновременно определялась потеря веса за время процесса обжига брикета в печи. Это было проделано с брикетами, имевшими диаметр 4-5 и 6 см и высоту соответственно 6-5 и 9 см. Брикеты указанных размеров обжигались последовательно при температурах в 1000°, 1100° и 850°. Результаты этих испытаний показаны в прилагаемой диаграмме № 4.

время обжига в зависимости
от диаметра брикета и температуры



Ниже даем сравнительную таблицу полученных результатов времени обжига брикета, полученного путем подсчета по нашей формуле и практически при обжиге в печи, как это было описано выше.

Temperatura в печи в 1100°			Temperatura в печи в 1000°			
Диаметр брикета	Время, потраченное на обжиг в часах		% расхождения	Время, потраченное на обжиг в часах		% расхождения
	по расчету	фактически		по расчету	фактически	
4 . . .	1,16	0,92	+ 26,0	1,94	1,5 .	+ 13,0
5 . . .	1,55	1,5	+ 3,0	2,58	2,08	+ 12,3
6 . . .	2,01	2,25	- 8,9	3,32	3,16	+ 11,0

Как видно из этой таблицы, расхождения между расчетной и опытной величиной сравнительно невелики, поскольку работы производились над неоднородным сырьем. Сырье нам доставлялось довольно разнообразным, что видно из приведенного состава мелов. Брикеты, сделанные из образцов мела, показывали удельный вес (брикета мела) 1,47—1,56. В расчетах мы брали средний удельный вес = 1,5. Плотность брикета могла оказаться на значении γ . (При расчете была принята температура Θ диссоциации в 850°).

* *

Для ускорения подсчета времени, необходимого для обжига куска CaCO_3 (различного состава и качества), при разных условиях (по формуле I и II) и для более наглядного определения влияния разных факторов на продолжительность обжига, нами составлена номограмма скорости обжига, как функция от D , T , a , λ , γ (обозначения прежние, см. диаграмму на стр. 28).

Для определения по этой номограмме времени обжига для брикета диаметром в D см находим по оси x значение D ; из этой точки оси x опускаем вниз перпендикуляр до его пересечения с лучом a , соответствующим значению теплопередачи нашего материала. Из точки пересечения проведенного перпендикуляра с этим лучом проводим линию, параллельную другому лучу и соответствующему значению λ до пересечения этой линии с осью y . В таблице, помещенной у оси y , найдется значение скорости обжига, т. е. время, необходимое для обжига в зависимости от удельного веса материала, перепада температур между температурой диссоциации и температурой среды, в которой обжигается брикет,

г) Процессы нагрева и охлаждения брикетов в соответствующих зонах шахтной печи

Переходим к исследованию процессов нагрева и охлаждения печи.

Нагрев и охлаждение с тепловой стороны являются одинаковыми по своему характеру действия.

Брикет по выходе из зоны сушки имеет среднюю температуру в 100°; после же прохода брикета через зону нагрева он должен иметь среднюю температуру в 850°. Навстречу брикету идет поток горячих газов. Количество, состав и температуру этих газов, по вступлении их в зону нагрева и по выходе их оттуда, мы можем определить так, как это будет указано ниже.

Итак, брикет и газы двигаются в шахте друг против друга — противотоком, при этом температура газов по пути их движения понижается, а температура брикета повышается. Перед нами

НОМОГРАММА для определения

продолжительности обогащения $\text{CaCO}_3 \cdot \text{Kalkf} (\text{Z}, \text{T}, \alpha, \lambda, \vartheta)$
(А.Б. Чеперовича)

(T-Q)

100	150	200	250	300
5,38	3,46	2,38	1,88	1,38
11,8	6,98	3,52	2,16	1,38
16,58	10,38	5,22	3,25	2,16
22,8	13,88	8,02	5,34	3,18
27,8	17,68	11,38	10,48	9,38
33,8	28,8	16,68	12,98	10,98
38,58	24,28	19,58	14,58	12,88
44,8	27,18	22,78	16,68	14,68
47,58	31,28	24,98	18,78	16,58
55,8	34,68	21,68	20,88	18,38
60,58	38,18	33,88	23,48	20,28
66,8	41,38	38,18	25,08	22,88
71,58	45,8	39,68	27,18	23,88
77,8	48,48	38,48	29,28	25,68
82,58	51,88	41,48	33,28	27,48
88,8	55,48	44,18	33,38	29,38
91,8	57,8	45,8	34,48	30,8

Для цилиндрического брикета

$$T_2 = \frac{K \cdot 10^3 \cdot 10^3}{T \cdot Q_0} \left(\frac{D_H}{\alpha} + \frac{D_{2H}}{\lambda} \right)$$

Для плоского брикета

$$T_2 = \frac{T_H}{\lambda}$$

θ - плотность обогащенного CaCO_3
 α - коэф. теплопроводности CaO
 λ - теплопроводность CaO

стоит задача определить время, в течение которого брикеты и газы должны находиться в таком взаимодействии, чтобы осуществились указанные нами перепады температур в них.

Для определения продолжительности процесса нагрева брикета в печи мы могли бы пользоваться средней температурой противотока, выведенной Грасгофом, однако, по нашему мнению, этим выводом в данном случае пользоваться нельзя по следующей причине.

В основу вывода формулы Грасгофа берется то положение, что температура во всех точках сечения тока постоянна, что можно допустить в случае противотоков жидкости или газов, но никак нельзя допустить по отношению к "потоку" брикетов. В процессе нагревания в каждом брикете появляется переменное тепловое поле, направленное от периферии к центру. В начале процесса этот перепад температур между центром и поверхностью брикета значителен; к концу процесса эти температуры выравниваются.

Чтобы пользоваться средне-арифметическими значениями перепадов температур, брикетов и газов, как это делает Блок, тоже нет никаких оснований.

Решить же эту задачу приемами, которые даются в математической физике—на основе теории теплопередачи—чрезвычайно сложно и вряд ли удобоприменимо для практических целей.

Постараемся дать хотя бы приближенный, но гораздо более простой метод расчета продолжительности процесса нагрева брикетов в шахте, основанный на этих же началах математической физики. Можно считать, что для практического пользования точность этого приема будет достаточна.

Данный метод расчета продолжительности нагрева дает возможность проследить влияние разных факторов на этот процесс и его динамику.

Установим количество и температуру газов в печи при их вступлении и выходе из зоны нагрева. Зная состав топлива, температуру отходящего газа из печи, избыток воздуха, с которым сжигаем наше топливо, количество топлива, необходимое для обжига одного килограмма извести, количество газов, которые выделяются в процессе диссоциации и количество влаги, которое должно быть испарено в зоне сушки,—мы можем определить температуру газов и количество их по выходе из зоны нагрева, как мы это указываем ниже. Зная количество и температуру газов при выходе их из зоны нагрева и количество теплоты, которое эти газы должны оставить в зоне нагрева, мы можем определить при какой температуре эти газы должны вступить в зону нагрева.

Чтобы решить вопрос о времени нагрева брикета в соответствующей зоне, обратимся к тому отделу теплопередачи, где рассматривается процесс охлаждения или нагревания цилиндра с длинной осью, который в начале процесса охлаждения имел равномерную температуру T_0 , а среда, в которой охлаждается, пусть имеет постоянную температуру T_∞ .

Решение этой задачи в общем виде очень сложно, но если ограничиться определением изменения колебания температур на поверхности цилиндра и в центре его во времени и определением потери этим же цилиндром тепла за изучаемый промежуток времени, то задача становится ясной, простой и сравнительно легко разрешимой.

Гребер вывел для этого случая в своем курсе „Einführung in Theorie der Wärmeübertragung“ зависимость между температурой цилиндра в начале процесса и температурой на поверхности и в центре его через любой промежуток времени после начала его охлаждения.

Там же он вывел и значение потери тепла охлажденным цилиндром за любой промежуток времени от начала процесса.

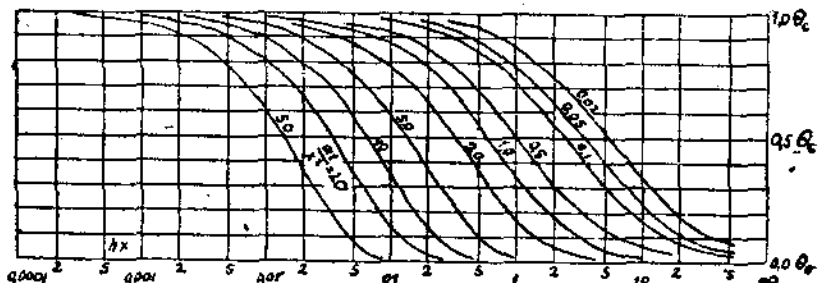
Эти зависимости Гребер выражает в виде:

$$\Theta_0 = \Theta_c \Phi_0 \left(hR, \frac{at}{R^2} \right)$$

$$\Theta_m = \Theta_c \Phi_m \left(hR, \frac{at}{R^2} \right)$$

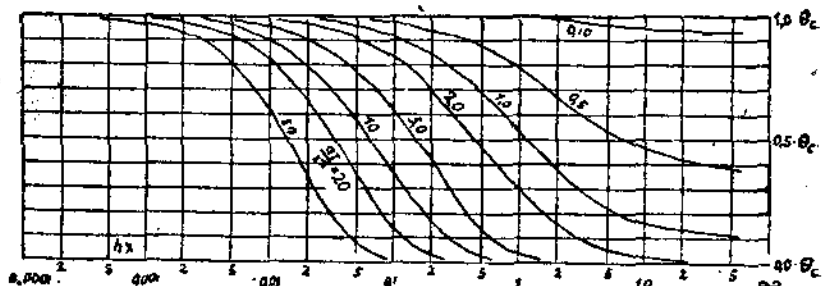
$$\Theta = \Theta_0 \psi \left(hR, \frac{at}{R^2} \right),$$

где: Θ_0 — температура на поверхности цилиндра через t часов после начала процесса;



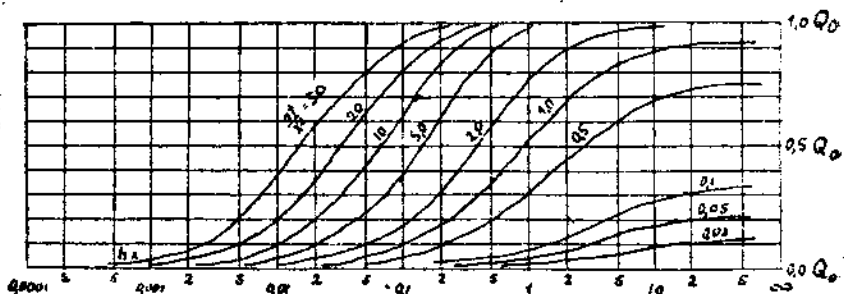
Температура свободной поверхности стенки при $\Theta_c = 1^\circ$:

$$\Theta_0 = \Theta_c \cdot \Phi_0 \left(\frac{at}{X^2}, hX \right).$$



Температура изолированной поверхности стенки при $\Theta_c = 1^\circ$:

$$\Theta_m = \Theta_c \cdot \Phi_m \left(\frac{at}{X^2}, hX \right)$$



Тепло, теряемое стенкой, окладываемой с одной стороны при $\Theta_c = 1^\circ$,

$$Q = Q_0 \sqrt{\left(\frac{\alpha t}{\lambda^3}, hX\right)}$$

Θ_m — температура в центре цилиндра через t часов после начала процесса;

Θ_c — температура цилиндра в начальный момент;

$$h = \frac{\alpha}{\lambda} = \frac{\text{коэффициент теплопроводности}}{\text{коэффициент теплопередачи рабочей среды}};$$

$$\alpha = \frac{\lambda}{\gamma c} = \frac{\text{коэффициент теплопроводности}}{\text{удельный вес на теплоемкость}};$$

R — радиус цилиндра в метрах;

Φ_0, Φ_m, ψ — трансцендентные функции =

$$= \text{соответственно } \frac{\Theta_0}{\Theta_c}, \frac{\Theta_m}{\Theta_c}, \frac{\Theta}{\Theta_0}.$$

Значения этих функций при разных значениях аргументов по заданию Гребера вычислил Г. Винтерфельд и результаты этих подсчетов даны нами в прилагаемой таблице № 1. На основании данных этой таблицы им построены соответствующие диаграммы, одна из которых (для плоского брикета) нами приводится¹⁾.

Нужно помнить, что Θ обозначает температуру, взятую по такой шкале, где 0 соответствует температуре среды, в которой происходит охлаждение.

Таким образом первоначальная температура цилиндра Θ будет: $\Theta = T_c - T_0$.

¹⁾ Остальные диаграммы для цилиндров и шаров приводятся в журнале V.D.J., 1925 г. и в курсе Гребера „Теплопередача“.

ТАБЛИЦА № 1

для значения функций Φ_o , Φ_m , ψ , данная Гребером и вычислена
Г. Винтерфельдом

ПОВЕРХНОСТНАЯ ТЕМПЕРАТУРА ЦИЛИНДРА

$\frac{hR}{R^2}$	0,0001	0,001	0,01	0,1	0,5	1	4	10	20	50	00
0,01	—	—	1	0,99	0,95	0,89	0,66	0,42	0,24	0,11	0,00
0,05	—	1	0,99	0,97	0,87	0,77	0,42	0,21	0,10	0,05	0,00
0,1	—	1	0,99	0,96	0,82	0,69	0,31	0,14	0,06	0,03	0,00
0,25	—	1	0,99	0,93	0,71	0,53	0,17	0,06	0,03	0,01	0,00
0,5	—	1	0,99	0,88	0,57	0,35	0,07	0,02	0,01	0,00	—
1	—	1	0,98	0,8	0,36	0,16	0,01	0,00	0,00	—	—
2,5	—	1	0,95	0,6	0,1	0,02	0,00	—	—	—	—
5	1,00	0,99	0,90	0,37	0,01	0,00	—	—	—	—	—
10	1	0,98	0,82	0,14	0,00	—	—	—	—	—	—
25	1	0,95	0,61	0,01	—	—	—	—	—	—	—

ТЕМПЕРАТУРА ДЛЯ ОСИ ЦИЛИНДРА

0,01	—	—	—	—	—	—	—	1,00	1,00	1,00	1,00
0,05	—	—	—	—	1,00	1,00	1,00	0,99	0,99	0,99	0,99
0,10	—	—	—	1,00	0,99	0,97	0,94	0,90	0,88	0,87	0,85
0,25	—	—	1,00	0,98	0,89	0,81	0,59	0,48	0,43	0,40	0,38
0,50	—	—	0,99	0,93	0,72	0,55	0,24	0,15	0,12	0,10	0,09
1	—	—	0,98	0,84	0,46	0,25	0,04	0,01	0,01	0,01	0,01
2,5	—	1,00	0,95	0,63	0,12	0,02	0,00	0,00	0,00	0,00	0,00
5	1,00	0,99	0,91	0,38	0,01	0,00	0,00	0,00	0,00	0,00	0,00
10	1,00	0,98	0,82	0,14	0,00	—	—	—	—	—	—
25	1,00	0,95	0,61	0,01	—	—	—	—	—	—	—

ПОТЕРЯ ТЕПЛА ЦИЛИНДРА

0,01	—	—	—	0,00	0,01	0,02	0,05	0,11	0,15	0,18	0,22
0,05	—	—	—	0,01	0,05	0,08	0,21	0,32	0,38	0,42	0,45
0,10	—	—	—	0,02	0,09	0,15	0,03	0,48	0,54	0,58	0,61
0,25	—	—	0,00	0,05	0,20	0,33	0,62	0,75	0,79	0,81	0,84
0,50	—	—	0,01	0,09	0,35	0,55	0,85	0,92	0,94	0,95	0,96
1	—	—	0,02	0,18	0,59	0,79	0,98	1,00	1,00	1,00	1,00
2,5	—	0,00	0,05	0,39	0,89	0,98	1,00	1,00	—	—	—
5	0,00	0,01	0,09	0,62	0,99	1,00	—	—	—	—	—
10	0,00	0,02	0,18	0,86	1,00	—	—	—	—	—	—
25	0,00	0,04	0,39	0,99	—	—	—	—	—	—	—

Точно так же теплосодержание цилиндра в первоначальный момент будет обозначаться $Q_0 = VC \cdot \gamma \cdot \theta_0 = P\theta_0$.

Все эти выводы, сделанные на случай охлаждения цилиндра, могут быть применены и в случае нагрева его при тех же условиях, только знаки будут обратные.

Воспользуемся этим выводом и для определения времени пребывания брикета в зоне нагрева, согласно поставленным нами выше условиям. Для этого разделим зону нагрева в шахте мысленно на ряд „вспомогательных“ зон, так что перепад температуре газов в этих зонах будет постоянным и равен T_n . Примем, что температура газа в этой зоне постоянна и равна средней температуре между верхней и нижней границей зоны. Температуру же брикета, при вступлении его в рассматриваемую зону, принимаем равной средней температуре брикета по выходе его из предыдущей зоны.

Зная значения α, h, R и T , определяем по диаграмме сколько времени должен пробыть брикет в рассматриваемой зоне, чтобы поглотить из окружающей среды столько тепла, сколько эта среда потеряла от понижения своей температуры. По этой величине определяем среднюю температуру брикета при выходе его из этой зоны. Зная время t и остальные данные можем по диаграмме определить температуру на поверхности и температуру в центре брикета. В цилиндрической шахте можем определить высоту зоны H по уравнению $vt = H$, где v — скорость прохождения брикета через шахту. Время же прохождения брикета через всю зону нагрева будет Σt .

Таким же образом определяем время прохождения брикета через зону охлаждения (ниже нами приведен этот расчет на примере одного частного случая).

д) Процесс сушки в верхней зоне шахтной печи

Задаваясь температурой газов по выходе их из шахты и зная их вес и состав, можем определить температуру газов по выходе их из зоны нагрева при условии, что в зоне сушки брикеты должны потерять всю свою влагу и нагреваться в среднем до температуры в 100° .

Нам нужно установить время нахождения брикета в зоне сушки, чтобы осуществились намеченные нами условия.

Теория сушки и теория сушильного дела не дает обобщающих правил, по которым можно было бы по размерам и форме высушенного предмета и по физическим константам веществ, принимающих участие в процессе сушки, установить продолжительность этого процесса.

Постараемся проанализировать динамику сушки и найти ответ на интересующий нас вопрос.

Физические основы сушильного дела могут быть сформулированы следующим образом. Над свободной поверхностью жид-

кости имеется слой пара этой же жидкости. Упругость пара в этом слое находится в соответствии с температурой жидкости.

Если каким-нибудь образом нарушено это соответствие, уменьшением ли давления пара или изменением температуры жидкости, то пар и жидкость будут стремиться восстановить нарушенное равновесие: жидкость начнет испаряться и образовавшийся при испарении пар восстановит нарушенное давление над поверхностью жидкости, или же пар начнет конденсироваться и своей скрытой теплотой поднимет температуру охлаждающейся жидкости.

Главная задача сушильщика состоит в том, чтобы определенным образом нарушить это равновесие и тем самым вызвать испарение влаги.

Вернемся к нашему случаю: когда влажный брикет попадает в атмосферу повышенной температуры, то в нем появляется переменное тепловое поле, направленное от периферии к центру. О характере изменения этого поля, на случай твердого предмета, неиспаряющегося, мы говорили выше; когда же предмет имеет в себе испаряющуюся жидкость, картина должна совершенно измениться.

С повышением температуры над поверхностью предмета жидкость начинает испаряться. На испарение этой жидкости тратится значительное количество тепла, приносимого тепловым потоком. Остальное тепло идет на дальнейшее нагревание предмета.

По мере испарения жидкости на поверхности предмета изнутри его начинает диффундировать жидкость к поверхности испарения (вследствие разности концентрации растворов, капиллярности и т. д.).

С продолжением процесса сушки диффузионный поток, подающий влагу к поверхности, все ослабевает и поверхность испарения уходит внутрь тела. За ней следует главный тепловой поток и соответствующие изменения теплового поля.

Процесс идет дальше в том же направлении и когда он достигает центра предмета, процесс оканчивается.

В соотношении мощности и скорости потоков диффузии и тепла нужно искать ответ на характер и продолжительность сушки; эти два фактора в своей комбинации характеризуют то, что мы называем режимом сушки.

При постоянстве условий, при которых происходит сушка, тело теряет в начале процесса сушки одно и то же количество влаги за единицу времени и диффузионный поток в этот период является решающим фактором. Скорость сушки в этот период можно определить, пользуясь формулой Дальтона. После критической точки, когда явление равномерности скорости сушки прекращается, решающим фактором уже начинает являться тепловой поток и продолжительность сушки может быть подсчитана по ниже выводимой нами формуле, полученной на основании следующих соображений.

Присматриваясь к процессу сушки во втором периоде мы замечаем, что в своей динамике он идентичен с процессом диссоциации CaCO_3 , который мы описали раньше, а поэтому и скорость сушки может быть выведена таким же образом, как и скорость диссоциации, только нужно учитывать разные показатели, при которых происходят эти процессы, а именно:

1) в то время, когда при диссоциации мы считаем, что тепловой поток должен оставить на поверхности диссоциации 425 калорий на 1 кг CaCO_3 , здесь для испарения воды требуется 540 калорий на 1 кг воды;

2) в то время, как при диссоциации диссоциирует вся масса слоя, здесь испаряется влага в определенном проценте к массе этого слоя.

Таким образом выведенные нами уравнения скорости диссоциации в данном случае для сушки должны принять вид:

$$\tau_u = \frac{540 \cdot 10^3 \cdot W \cdot \gamma}{100 \cdot 4 (T - 100)} \left(\frac{D_u}{\alpha} + \frac{D_u^2}{4\lambda} \right); \quad (\text{III})$$

$$\tau_a = \frac{\tau_u}{2} \quad (\text{IV})$$

Строго говоря, внутри тела образуется не поверхность сушки, кольцевая зона, в которой происходит процесс сушки, и в разных слоях этой зоны должны существовать разные физические показатели. Вода в этой зоне находится в разном состоянии (как мы это видели в главе при рассмотрении вопроса о брикетировании), а это должно вызвать различную упругость пара над поверхностью воды и, следовательно, разные скорости испарения.

Чем температура, (в которой происходит сушка), выше температуры кипения жидкости, которую мы желаем испарить, и чем диффузия в теле слабее, т. е. чем сила теплового потока является более решающим фактором в процессе сушки, тем скорее можно ожидать, что определение времени сушки по выведенной нами формуле может дать более верный результат. Поскольку нам интересно установить динамику сушки в верхней зоне шахты, где имеет место высокая температура, мы пользовались выведенной формулой III. Чтобы убедиться насколько теоретические выводы соответствуют действительности, нами были проведены следующие проверочные опыты.

Брикеты диаметром 4-5-6 см сушили в термостате при температурах 150—200°. Конец процесса сушки определяли путем взвешивания. Полученные результаты опыта оказались сравни-

тельно близкими к заранее вычисленным. Это можно видеть из следующей таблицы:

Температура печи 150°			Температура печи 200°			
Диаметр брокета в см	Время на сушку (в минутах)		% рас- хождения	Время на сушку (в минутах)		% рас- хождения
	По рас- чету	На опыте		По рас- чету	На опыте	
4 . . .	112	100	+ 12	—	—	—
5 . . .	152	150	+ 1	70	70	0
6 . . .	—	—	—	88	96	- 8

При низких температурах формула III правильных результатов не давала, чего и нужно было ожидать.

V. ОПТИМАЛЬНЫЕ УСЛОВИЯ ВЕДЕНИЯ ПРОЦЕССА ОБЖИГА

Изучив динамику процесса обжига CaCO_3 в шахтной печи во всех ее зонах, мы можем практически подойти к решению вопроса об обжиге рыхлого мела. Брикетирование мела, как уже видели, придает ему прочность и определенную форму и этим облегчается задача обжига рыхлого мела в шахтной печи, но это не освобождает нас от искания таких условий обжига, при которых продолжительность процесса будет минимальной.

Сокращение продолжительности обжига дает нам возможность уменьшить об'ем шахты (при данной производительности) и, следовательно, понизить ее высоту. Последнее будет способствовать тому, что продукт, находящийся в шахте, не будет так раздавливаться под своей собственной тяжестью, а это является главным пунктом нашей задачи.

Требования, выдвигаемые при решении задачи обжига рыхлого мела, сводятся к тому, чтобы найти такую установку, при которой:

1. Удельный расход топлива был бы минимальным.
2. Были бы созданы наилучшие условия для проведения процесса обжига, исходя из данного сырья, что приведет к улучшению качества продукции и увеличению производительности агрегата.
3. Было бы достигнуто увеличение производительности труда и облегчение условия работы в этом производстве.

Проанализируем каждый из этих пунктов в отдельности. Для этого примем следующие обозначения:

E — теплотворная способность топлива,

y — удельный расход топлива на единицу веса готовой извести

m —количество мелового брикета, нужное для получения одного килограмма извести,

w —влажность мела в проц.,

v —загрязненность мела в проц.,

η —со значками m и w означает коэффициент полезного действия топки и шахты,

Q_r —количества продуктов горения от сжигания 1 кг топлива при теоретическом горении.

C_r —средняя теплоемкость этих же газов,

Q_{co_2} —количество углекислоты, выделяемое при диссоциации CaCO_3 для получения 1 кг извести,

T_o —температура отходящих газов из печи,

C_x —теплоемкость извести,

C_m —теплоемкость мела,

T_n —средняя температура извести, выходящей из печи,

T_a —“ “ “ наружного воздуха,

C_{co_2} —теплоемкость углекислоты.

Исходя из Закона сохранения энергии, можем написать:

$$y_t E_r \eta_{th} \eta_r = m \left(1 - \frac{w}{100}\right) \left(1 - \frac{v}{100}\right) 425 + \\ + y_t Q_r C_r (T_{ot} - T_n) - m \left(1 - \frac{w}{100}\right) \left(1 - \frac{v}{100}\right) 0,44 C_{co_2} (850 - T_o) - C_x T_n,$$

откуда можем определить удельный расход топлива:

$$y_t = \frac{m \left(1 - \frac{w}{100}\right) \left(1 - \frac{v}{100}\right) [425 - 0,44 C_{co_2} (850 - T_o)] - C_x T_n}{E_r \eta_{th} \eta_r - Q_r C_r (T_o - T_n)}$$

Анализ выражения для y_t показывает, что для уменьшения удельного расхода топлива мы должны:

1. Уменьшить температуру отходящих газов.
2. Уменьшить избыток воздуха.
3. Увеличить коэффициент полезного действия топки путем уменьшения потерь.

4. Уменьшить потери печи, т. е. увеличить ее коэффициент полезного действия.

5. Пользоваться топливом, выделяющим наименьшее количество и наименее теплоемких газов на единицу выделенного тепла.

6. Выводить известь из печи при возможно низкой температуре.

Условия, ведущие к удовлетворению п. 2, т. е. к улучшению процесса обжига, сводятся к тому чтобы:

1). Создать равномерный обжиг по всем сечениям шахты, а для этого нужно:

а) Подобрать надлежащие и соответствующие данной цели размер и форму сечения шахт.

б) Придать загружаемым в шахту кускам мела одинаковую величину и форму:

в) Обеспечить ровномерное сползание мела в шахте.

г) Подать горячие газы в печь под некоторым напором так, чтобы они проникли в шахту до самого центра.

д) Создать более высокую температуру в тех местах печи, где можно ожидать более быстрого сползания загруженного мела.

2) Сделать устойчивыми проходы для газов через шахту и чтобы эти проходы были равномерно расположены по сечению шахты и имели-бы одинаковый размер. Для этого нужно:

а) Подобрать загружаемые в печь куски мела такой формы и размеров, чтобы проходы для газов были-бы не слишком велики (при слишком больших проходах ухудшается условие перемешивания газов и соприкосновение с обжигаемым продуктом) и не слишком малы (это может создать большое сопротивление для тяги).

б) Подвергнуть обжигаемый продукт в печи возможно меньшим давлениям во избежание их раздавливания и тем самым забивки проходов для газов.

Это требование является наиболее актуальным, поскольку здесь речь идет об обжиге рыхлого мела.

Посмотрим, как влияют форма и размер брикета на каналы, образованные в шахте.

О том, как влияет форма брикета на размер создающихся между ними каналов, можно узнать только эмпирически, как мы это описали выше. Влияние же размера брикетов (при той-же форме их) можем определить исходя из следующего: если нагрузить одну шахту брикетов одного размера, а другую такую-же шахту брикетами, геометрически подобными первым, но другого размера, то можно полагать, что каналы для газов в первом и во втором случаях будут тоже геометрически подобными и отношение их сечений будет равно отношению квадратов сторон брикета, число-же таких каналов будет обратно пропорционально квадрату этих-же сторон. Отсюда мы видим, что *размеры брикетов влияют на размер сечения канала, хотя общее (живое) сечение шахты не меняется от размеров брикетов*.

В случае большого сужения каналов в них могут образоваться большие сопротивления тяге (сечение каналов растет в квадрате от линейных размеров брикета), а потому при выборе размера брикета не следует увлекаться слишком большим уменьшением его размера.

Рассмотрим, как влияет размер и конфигурация брикетов, загружаемых в шахту на необходимую высоту последней. Та или другая конфигурация загружаемого брикета может вызвать разные заполнения шахты. С уменьшением коэффициента наполнения шахты давление на дно ее, конечно, уменьшается, но зато уменьшается и время прохождения брикета через шахту и этим пропорционально уменьшается и производительность печи. Следовательно, размер брикетов и геометрическая форма их не могут иметь влияния на высоту шахты с геометрической точки зрения.

Зато колоссальное влияние на высоту шахты может иметь размер загружаемых в нее кусков с точки зрения тепловых процессов, имеющих в ней (шахте) место.

Если обозначим сечение шахты через Ω , высоту ее через H , скорость прохождения брикетов через шахту через v , а производительность печи через A , время же, необходимое для проведения процесса обжига обозначим через t , тогда $v\Omega t = A$. Высота шахты при данной производительности выражается: $H = \frac{A}{\Omega} = vt$.

Отсюда мы видим, что, желая изменить высоту шахты, мы должны уменьшить время прохождения мела через печь или увеличить сечение шахты.

Из выведенных нами выше формул для определения продолжительности процессов, происходящих в печи, мы видим, что на уменьшение этого времени могут влиять следующие факторы:

1. Диаметр брикета: чем брикет меньше, тем скорость обжига больше увеличивается.

2. Перепад температур между обогреваемым предметом и обогревающими газами: чем меньший перепад температур, тем времени прохождения через шахту нужно больше.

Плотность брикета удлиняет время обжига, хотя при увеличении плотности можно ожидать увеличения теплопроводности, что должно действовать в обратную сторону.

Уменьшить раздавливающие усилия в печи от собственного веса брикетов можно еще путем подбора соответствующего продольного профиля печи.

Из теории сопротивления материалов мы знаем, что наименьшее напряжение получается в материале, подверженном действию собственного веса, если ему придать вид бруса равного сопротивления, у которого поперечное сечение изменяется по высоте

по закону $F = F_0 e^{\frac{y}{h}}$. Если-бы по этому принципу подобрать продольный профиль шахты, то сечение будет возрастать к основанию, т. е. к тому месту, где должен произойти обжиг мела. Собственно говоря, подбором соответствующей конфигурации печи можно было бы принципиально решить задачу в смысле разгрузки низа печи при любой прочности продукта, но увеличение сечения шахты значительно затрудняет процесс обжига

в смысле проникновения горячих газов вглубь шахты, а потому к этому приему можно прибегнуть только тогда, если нужно принять меры для избежания этого указанного недостатка.

Выведенные положения должны служить руководством при конструировании печи для обжига рыхлого мела.

VI. РАСЧЕТНЫЕ ДАННЫЕ ДЛЯ ПРОЕКТИРОВАНИЯ ШАХТНЫХ ПЕЧЕЙ

Установим некоторые величины, которые необходимы при проектировании печи.

Возьмем климовичский мел, имеющий балласт в виде SiO_2 и R_2O_3 , до 10 проц., а влажность брикета примем равной 20 проц. Определим, сколько такого мела нужно обжечь, чтобы получить один кг обожженной извести. Обозначив через W влажность мела, через V —его балласт в процентах, а через M —количество мела, которое нужно брать для получения 1 кг извести, можем составить уравнение:

$$M \left(1 - \frac{w}{100} \right) \left(1 - \frac{v}{100} \right) 0,56 + M \left(1 - \frac{w}{100} \right) \frac{v}{100} = 1,$$

откуда, подставив в это уравнение вместо букв их значения, приведенные выше для климовичского мела, получаем, что $M = 2,1 \text{ кг}$.

Для нашего расчета примем, что топливом служат дрова в составе: С—29,6%; Н₂—3,79%; О₂—28,6%; N₂—1%; R—0,66%; W—40%.

Теплотворная способность этого топлива, вычисленная по формуле Менделеева, будет 2400 кал. Топливо сжигаем с коэффициентом избытка воздуха $\alpha = 1,3$.

Теоретическое количество воздуха, необходимое для сжигания 1 кг данного топлива, состав и количество полученных продуктов в результате этого сжигания, можно найти в следующей таблице № 2.

Таблица № 2

Элементарный состав.	%	Число грамм в 1 кг	Воздух			Итого	Продукты горения			Итого
			Кислород	Азот	Водянистые пары		CO ₂	H ₂ O	N ₂	
C	29,6	296	786	—	—	—	1082	—	—	—
H ₂	3,79	37,9	296	—	—	—	—	333,9	—	—
O ₂	28,6	286	286	—	—	—	—	—	—	—
N ₂	1	10	--	10	—	—	—	—	10	—
R	0,66	6,6	—	—	—	—	—	—	—	—
W	40	400	—	—	400	—	—	400	—	—
			796	2660	30	3486 кг	1082	30 764	2660	4506 кг

Теплоемкость и теплосодержание продуктов, получаемых от сжигания 1 кг данного топлива составляют:

Газ	Теплоемкость	Состав Теплосодержание продуктов горения в 1 кг. топлива	Теплосодержание воздуха при коэф. избытка α, равном 1,3
CO ₂ . . .	0,24	1,08 · 0,24 = 0,266	—
H ₂ O . . .	0,47	0,76 · 0,47 = 0,359	—
N ₂ . . .	0,25	<u>0,25 · 2,66 = 0,665</u> 1,290	—
Воздух . . .	0,22	—	0,22 · 3,48 · 0,3 = 0,228

Определим количество тепла, которое нужно оставить в каждой зоне шахтной печи на 1 кг обожженной извести.

1) В зоне сушки: для подсушки мела в количестве, нужном для получения одного кг извести, потребуется тепла:

а) На испарение влаги: $2,1 \times 0,2 \times 640 = 256,9$ кал.

б) На нагрев мела до 100°: $2,1 \times 0,8 \times 0,21 \times 100 = 35,1$ кал.

Итого 292 кал.

2) В зоне нагрева: для нагрева брикетов от 100° до 850° нужно тепла:

$$2,1 \times 0,8 \times 0,21 \times (850 - 100) = 255 \text{ кал.}$$

3) В зоне диссоциации. На диссоциацию CaCO₃ потребуется тепла:

$$2,1 \times 0,9 \times 0,8 \times 425 = 644 \text{ кал.}$$

4) В зоне охлаждения: при охлаждении извести получится тепла:

$$1 \times 0,21 (850 - 200) = 136 \text{ кал.}$$

Количество тепла, вводимое во все 3 зоны обжига:

$$292 + 255 + 644 = 1191 \text{ кал.}$$

Определим удельный расход топлива на обжиг 1 кг извести, исходя из следующих условий:

1. Температура газов, выходящих из зоны обжига, должна быть не ниже 900°, так как понижение температуры в зоне обжига значительно замедляет этот процесс.

2. Температура выходящих газов из шахты должна быть не ниже 250°, что обеспечит лучшую тягу и невозможность выпадения влаги, поскольку газы, выходящие из шахтной печи, будут очень влагоемкими.

Чтобы эти условия имели место, должны существовать следующие зависимости:

для удовлетворения первого условия:

$$\begin{aligned}
 & \frac{y \times 2400}{\text{тепло, вносимое топливом в зону обжига}} + \frac{2,1 \times 0,8 \times 0,21 \times 850}{\text{тепло, вносимое горячими брикетами в зону обжига}} + \\
 & + \frac{1 \times (1000 - 230) \times 0,21}{\text{тепло, вносимое нагретым воздухом в зону охлаждения}} = \frac{2,1 \times 0,8 \times 0,9 \times 425}{\text{тепло диссоциации}} + \\
 & + \frac{1 \times 1000 \times 0,21}{\text{тепло, выносимое брикетами извести из зоны обжига}} + \frac{2,1 \times 0,8 \times 0,9 \times 0,45 \times 0,24 (900 - 850)}{\text{тепло, выносимое } CO_2 \text{ от диссоциации из зоны обжига}} + \\
 & + \frac{y \times (1,29 + 0,228) \times 900}{\text{тепло, выносимое продуктами горения из зоны обжига}} + \frac{0,5 \times y \times 2400}{\text{потери в топке}} + \\
 & + \frac{0,5 \times y \times 2400}{\text{потеря излучения в зоне обжига.}}
 \end{aligned}$$

Причесание: Через y обозначаем удельный расход топлива. Температуру известия, выходящей из зоны обжига, принимаем равной 1000° . Среднюю температуру известия, выходящей из зоны охлаждения принимаем равной 100° .

Из вышеуказанного уравнения определяем удельный расход топлива:

$$y = \frac{642 + 210 + 8 - 290 - 168}{2400(1 - 0,05 - 0,05) - 1370} = \frac{402}{798} = 0,51 \text{ кг.} \quad (13)$$

Для удовлетворения второго условия:

$$\begin{aligned}
 & \frac{y \times 2400}{\text{тепло, вносимое топливом в зону обжига}} = \frac{1,52 \times 250}{\text{тепло, уносимое продуктами горения из шахты}} + \\
 & + \frac{2,1 \times 0,8 \times 0,9 \times 0,45 \times 0,24 (250 - 850)}{\text{тепло, оставляемое в шахте углекислотой}} + \\
 & + \frac{2,1 \times 0,2 [640 + 0,48 \times (250 - 100)]}{\text{тепло, потраченное на испарение в зоне сушки}} = \frac{2,1 \times 0,8 \times 0,21 \times 850}{\text{тепло на нагрев брикетов}} + \\
 & + \frac{2,1 \times 0,8 \times 0,9 \times 425}{\text{тепло, идущее на диссоциацию}} + \frac{0,21 \times 200}{\text{тепло, уносимое брикетами извести}} + \frac{y \times 2400 \times 0,5}{\text{потеря тепла печью}} + \\
 & + \frac{y \times 2400 \times 0,05}{\text{потеря тепла шахтой.}}
 \end{aligned} \quad (14)$$

Отсюда определяем удельный расход топлива:

$$y = 0,67 \text{ кг.}$$

В условном топливе этот удельный расход выражается цифрой

$$\frac{0,67 \times 2400}{7000} = 0,23.$$

Продукты горения, получаемые при сжигании топлива, идущего на 1 кг извести, дают продукты горения следующего состава и количества: CO_2 — 1,082·0,67; H_2O — 0,764·0,67; N_2 — 2,66·1,3·0,67; O_2 — 0,796·0,67·0,3, итого продуктов горения 3,75 кг: 1 кг изв.

	CO_2	H_2O	N_2	O_2	Итого
В %	19,5	13,8	62,4	4,3	100
В молях	4,44	7,66	44,5	2,69	59,29
В % об'ема	7,8	12,9	75	4,5	100

Состав газов, выходящих из шахты, учитывая CO_2 , получаемое в процессе диссоциации, можно найти следующим образом:

При получении 1 кг извести из мела, CO_2 выделится в количестве: $2,1 \cdot 0,8 \cdot 0,9 \cdot 0,44 = 0,665$ кг, что составит в молях $665 : 44 = 15,1$,

Состав газообразных продуктов, выделяемых из шахты:

	CO_2	H_2O	N_2	O_2	Всего сух. газов
В молях	19,54	7,66	44,5	2,69	66,73
В % по об'ему к сух. газам	29,3	—	66,7	4,0	100

Если температуру отходящих газов мы понизим на 100°, то, как мы это можем видеть из соответствующего подсчета, удельный расход топлива уменьшится на 9%. Однако, считаем, что следует итти не в направлении понижения температуры отходящих газов, а наоборот, в направлении их увеличения с тем, чтобы в шахте создать наиболее благоприятные условия обжига. Кoeffициент-же полезного действия установки следует увеличить путем использования тепла уходящих газов из шахты для каких-либо технических целей, требующих более низкого теплового потенциала, как например, для сушки, парообразования или, в крайнем случае, прибегнуть к воздушному экономайзеру для питания топок горячим дутьем. Поскольку мел является сырьем не только для обжига извести, но также самостоятельным ценным техническим продуктом, то полагаем, что на тепловых отходах шахтной печи выгоднее будет организовать сушку мела.

Итти по пути повышения температуры отходящих газов в данном случае выгодно еще по следующим соображениям:

1) Повышение теплового потенциала во всех зонах печи значительно ускоряет процесс обжига, а это ведет, при прочих одинаковых условиях, к понижению высоты шахты, что уменьшает нагрузку на внизулежащие брикеты. Улучшение условий обжига даст больше, чем 9-проц. экономия топлива, получаемая от

понижения температуры отходящих газов, тем более, что эти потери будут возмещены использованием тепла отходящих газов в сушилке.

2) Посколько брикеты влажны, необходимо возможно быстрее произвести обсушку их поверхности, чтобы избежать склеивания брикетов; последнее может явиться одной из главных причин образования в печи козлов. Чтобы проверить, можно ли сразу мокрые брикеты ввести в зону высоких температур, не вызывая их распадания, нами были для опыта просушены мокрые брикеты в печи, предварительно накаленной до $500-700^{\circ}$. Брикеты при таких условиях оставались целыми.

Определим продолжительность пребывания брикетов в каждой зоне печи, при установленных нами условиях; для сравнения определим время пребывания в каждой зоне брикетов в 6 и 15 см.

Зона диссоциации. Температура газов по выходе их из зоны диссоциаций определится, если составим для зоны обжига тепловой баланс на 1 кг известия, который выразится в следующем виде:

Приход тепла	Расход тепла
1) Тепло, вносимое топливом $0,67 \cdot 2400 = 1610$ кал	1) Тепло, идущ. на диссоц. $2,1 \cdot 0,6 \cdot 0,9 \cdot 425 = 643$ кал
2) Тепло, вносимое в зону охлаждения нагретыми брикетами $2,1 \cdot 0,8 \cdot 0,21 \cdot 650 = 299$.	2) Тепло, идущ. на нагрев известия в зоне охл. $0,21 \cdot 1000 = 210$.
3) Тепло, вносимое в зону охлажд. нагретым воздухом, проход. через зону охлаждения = 168 .	3) Тепло на нагрев CO_2 , получ. от диссоц. от темп. диссоц. 850° до темп. газов по выходе их из зоны обжига $2,1 \cdot 0,8 \cdot 0,9 \cdot 0,44 \cdot 0,24 (X - 850) = 0,16X - 135$ кал
	4) Тепло, уносим. продуктами горения: $0,67 (0,29 + 0,228) = 1,02X$.
	5) Потери в топке $0,05 \cdot 0,67 \cdot 2400 = 80,4$.
	6) Потери в зоне обжига $0,03 \cdot 0,67 \cdot 2400 = 80$.
Итого . . . 2077 кал	Итого $1,18X + 878$

где X — средняя температура газов по выходе их из зоны обжига = $(2077 - 878) : 1,18 = 1003^{\circ}$.

Посколько мы организуем процесс горения в зоне обжига так, чтобы он шел по всей зоне, то за среднюю температуру зоны обжига принимаем 1100° .

Время, нужное для проведения процесса диссоциации при взятых нами условиях найдем из данного нами уравнения:

$$\frac{1,5 \cdot 106 \cdot 10^3}{1100 - 850} \left(\frac{0,6}{30} + \frac{0,0036}{4 \cdot 0,6} \right) = 2,23 \text{ часа для брикетов в } 6 \text{ см.}$$

$$\frac{1,5 \cdot 106 \cdot 10^3}{1000 - 850} \left(\frac{0,15}{30} + \frac{0,0225}{2,4} \right) = 8,3 \text{ часа для брикетов в } 15 \text{ см.}$$

Теплопроводность λ для извести берем 0,6; $\alpha = 30$.

Зона нагрева. Температура газов после зоны обжига равняется, как мы раньше видели, 1003° . Температура газов после зоны нагрева T_n , где меловой брикет нагревается от 100° до 850° , определится из следующего уравнения:

$$\frac{0,67(1,29 + 0,228) \cdot (1003 - T_n)}{\text{тепло, вносимое продуктами горения}} + \frac{2,1 \cdot 0,8 \cdot 0,9 \cdot 0,44 \cdot 0,24}{\text{тепло, вносим. СО}_2 \text{диссоц.}} \times \\ \times (1000 - T_n) = \frac{2,1 \cdot 0,8 \cdot 0,9 \cdot 0,21(850 - 100)}{\text{тепло, идущее на нагрев}} + \frac{0,67 \cdot 2400 \cdot 0,04}{\text{потери на излучение шахтой.}}$$

Решая это уравнение относительно T_n будем иметь, что $T_n = 722^{\circ}$.

Определим время, нужное для процесса нагрева брикетов от 100° до 850° .

Делим эту зону нагрева, допустим, на 3 вспомогательных зоны, имеющие одинаковые перепады температур газов в каждой зоне. Этот перепад будет:

$$\frac{1000^{\circ} - 722^{\circ}}{3} = 93^{\circ}.$$

Средняя температура в первой вспомогательной зоне будет

$$\frac{1000^{\circ} + (1000^{\circ} - 93^{\circ})}{2} = 953^{\circ}.$$

Брикет, проходя через первую вспомогательную зону, нагревается, и его теплосодержание увеличивается на величину, равную

$$[0,67(1,29 + 0,8) + 2,1 \cdot 0,8 \cdot 0,9 \cdot 0,44 \cdot 0,24] \cdot 93 = \frac{0,67 \cdot 2400 \cdot 0,04}{3} = 88 \text{ кал.}$$

Увеличение температуры брикетов ΔT_n за время прохождения их через каждую из вспомогательных зон, определяется из уравнения:

$$0,21 \cdot 2,1 \cdot 0,8 \Delta T_n = 88, \text{ откуда } \Delta T_n = 250^{\circ}.$$

Определим период времени, нужный для прохождения брикета через каждую из вспомогательных зон, чтобы он успел нагреться до 250° . Допустив, что температура газов в данной зоне постоянна и равняется выведенной нами средней температуре (а температура брикета в начале зоны во всей массе равняется средней температуре брикета), мы сможем воспользоваться методом определения этого времени, как это было изложено нами выше (пользуясь таблицами Гребера).

Определяем для данного случая значение критерия $hR = \frac{\alpha}{\lambda}$.

Для нашего случая при брикете диаметром в 6 см $hR = \frac{30 \cdot 0,03}{0,8} = 1,12$, а для брикета диаметром в 15 см $hR = 2,8$.

Средняя температура в первой зоне, как мы видели выше, $= 953^\circ$.

Средняя температура брикета в начале зоны $850 - \frac{750}{3} = 600^\circ$.

Если принять, что температура среды, в которой брикет нагревается, равняется 0 (данное условное обозначение температуры, как показано было выше, должно быть принято при этом методе расчета), то температура брикета в этой системе выразится: $\Theta_a = 600^\circ - 953^\circ = -353^\circ$, откуда теплосодержание брикета по отношению к условно взятому нами нулю, $\Theta_a = 2,1 \cdot 0,21 \cdot (-353) = -124$ кал. Зная, что цилиндр получил 88 кал тепла, а его первоначальное теплосодержание при условном нуле $= 124$ кал, то функция $\psi(hR, \frac{at}{R^2})$ будет равняться $\frac{88}{124} = 0,709$. По данному значению функции и по значению hR можно найти по таблице или диаграмме величину $\frac{at}{R^2} = 0,75$,

где

$$a = \frac{\lambda}{c\gamma} = \frac{0,8}{1500 \cdot 0,21}.$$

Пользуясь этим уравнением, определяем для брикета диаметром в 6 см значение:

$$\frac{at'}{R^2} = \frac{0,8 \cdot t_6'}{0,21 \cdot 1500 \cdot 0,0009} = 0,75,$$

откуда время прохождения через 1-ю вспомогательную шахту для брикетов диаметром в 6 см $t_6' = 0,266$ часа, а для брикетов диаметром в 15 см $\frac{at}{R^2} = \frac{0,8 \cdot t_{15}'}{0,21 \cdot 1500 \cdot 0,0056} = 0,33$,

откуда для брикетов диаметром в 15 см $t_{15}' = 0,73$ часа.

Определим время прохождения брикета через 2-ю вспомогательную зону.

Средняя температура во 2-й вспомогательной зоне будет:

$$\frac{1000 - 93 + 1000 - (93 \cdot 2)}{2} = 861^\circ.$$

Средняя температура брикета в начале второй зоны будет $300^\circ - 250^\circ = 350^\circ$.

Средняя температура брикета, если принять температуру среды 0, будет $350^\circ - 861^\circ = -511^\circ$.

Теплосодержание брикета при этом условном нуле будет:

$$Q_s = 2,1 \cdot 0,21 \cdot (-511) = -225, \text{ откуда } \psi \left(hR, \frac{at}{R^2} \right) = \frac{88}{225} = 0,391.$$

$$\text{Значение для } \frac{at_6''}{R^2} = \frac{0,8 \cdot t_6''}{0,21 \cdot 1500 \cdot 0,0009} = 0,25 = 2,83t_6'',$$

откуда для брикета диаметром в 6 см $t_6'' = 0,0885$, а для брикета диаметром в 15 см

$$\frac{at_{15}''}{R^2} = \frac{0,8 \cdot t_{15}''}{0,21 \cdot 0,500 \cdot 0,56} = 0,15 = 0,455t_{15}'',$$

откуда $t_{15}'' = 0,33$.

Определим время прохождения брикета через третью вспомогательную зону.

Средняя температура в средней вспомогательной зоне будет:

$$722^\circ + \frac{93^\circ}{2} = 768^\circ.$$

Средняя температура брикета в начале 3-й зоны 100° .

Средняя температура брикета (если принять температуру среды 0), будет $100^\circ - 768^\circ = -668^\circ$.

Теплосодержание брикета при этом условном нуле будет:

$$Q_s = 2,1 \cdot 0,8 \cdot 0,21 \cdot 668 = 235,$$

откуда

$$\psi \left(hR, \frac{at}{R^2} \right) = \frac{88}{35} = 0,373,$$

т. е. почти такая же как во 2-й зоне, а потому и время прохождения брикета через 3-ю зону нагревания будет тоже таким же, как через 2-ю зону, т. е. для брикетов диаметром в 6 см $t_6''' = 0,33$, а для брикетов диаметром в 15 см $t_{15}''' = 0,33$.

Время прохождения брикета через всю зону нагревания будет, складываясь суммы времени прохождения их через все вспомага-

тельные зоны или для брикета диаметром в 6 см $= 0,25 + 0,08 \frac{1}{2} = 0,42$ часа, а для брикета диаметром в 15 см, $0,73 + 0,33 \frac{1}{2} = 1,39$ часа.

• **Зона сушки.** Время, нужное для прохождения брикета через зону сушки, может быть найдено по выведенной нами выше формуле III.

$$T_c = \frac{540 \cdot 10^3 \cdot \gamma \cdot w}{4(T - 100)100} \left(\frac{D_u}{\alpha} + \frac{D_{u_1}^2}{4\lambda} \right).$$

Для брикетов диам. 6 см

$$t_{c6} = \frac{20 \cdot 1,5 \cdot 540 \cdot 10^3}{100 \left(\frac{722 + 217}{2} - 100 \right)} \left(\frac{0,06}{30} + \frac{0,0036}{408} \right) = 1,37 \text{ часа.}$$

Для брикетов диам. 15 см

$$t_{c15} = 0,44(5 + 7,1) = 5,3 \text{ часа.}$$

Зона охлаждения. Первоначальная средняя температура брикета в этой зоне 1000° .

Средняя температура брикетов по выходе из зоны охлаждения $= 200^\circ$.

Воздух проходит через зону охлаждения в количестве 0,3 от количества, нужного для теоретического сжигания топлива: $Q_s = 0,3 \cdot 3,49 = 1,047 \frac{\text{куб.м}}{\text{кг топлива}}$.

Берем температуру наружного воздуха 0.

Средняя температура брикета при вступлении его в зону обжига будет X , который определится из уравнения:

$$0,21 \cdot (1000 - 200) = 1,047 \cdot 0,22 \cdot X \cdot 0,67; \text{ откуда } X = 1097^\circ.$$

Считая, что потеря в кладке около 10 проц., получаем температуру воздуха при входе в зону горения равной

$$\frac{735}{0,67} \cdot 0,97 = 988^\circ.$$

Разделив зону охлаждения, как мы это сделали в зоне нагрева, на 3 зоны с одинаковым перепадом температур газов в каждой зоне, получим:

$$\text{В 1-й зоне: } \frac{0 + 988^\circ \cdot 0,33}{2} = 164^\circ.$$

$$\text{Во 2-й зоне: } \frac{328^\circ + 328^\circ \cdot 2}{2} = 492^\circ.$$

$$\text{В 3-й зоне: } \frac{988^\circ + 328^\circ \cdot 2}{2} = 820^\circ.$$

Температура брикета в 1-й зоне по отношению к средине удет: $1000^\circ - 820^\circ = 180^\circ$.

Теплосодержание брикетов в 1-й зоне при условном 0 будет
 $180 \cdot 0,21 \cdot 1 = 37,6$.

В этой зоне брикет мела отдает тепла

$$37,6 \cdot 1,03 = 38,7.$$

Критерий hR для брикета диам. 6 см $\frac{30 \cdot 0,03}{0,6} = 1,5$, а для брикета диам. 15 см $hR = \frac{30 \cdot 0,075}{0,6} = 3,75$.

Критерий $\frac{at}{R^2} = \frac{\lambda t}{c_1}$ для брикета диам. 6 см $= \frac{0,6 \cdot t}{1000 \cdot 0,21 \cdot 0,0009} = 3,18t$, а для брикета диам. 15 см $= \frac{0,6 \cdot t}{1000 \cdot 0,21 \cdot 0,055} = 5,2t$.

Значение функций $\psi = \frac{Q_c}{Q_o}$ равняется $1 = 5,2t$.

По данному значению функции и критерию hR находим значение для $\frac{at}{R^2}$, который для брикетов диам. 6 см $= 4,5$, а для брикетов диам. 15 см $= 2,75$, откуда время пребывания в первой зоне сушки будет для брикетов в 6 см $31,8t_6 = 4,5$ часов или $t_6' = 0,14$ час., а для брикетов диам. в 15 см $5,2t_{15}' = 2,75$ час. или $t_{15}' = 0,53$.

Время прохождения через вторую вспомогательную зону определяется следующим образом.

Средняя температура брикетов при поступлении во вторую зону:

$$1000^\circ - \frac{38,7^\circ}{0,21} = 816^\circ.$$

Температура средины $= 492^\circ$

Температура брикета, если принять температуру средины 0, будет $816^\circ - 492^\circ = 324^\circ$.

Теплосодержание брикета по отношению к температуре среды будет $1 \cdot 324 \cdot 0,21 = 68,4$.

Значение функций $\psi = \frac{Q_c}{Q_o} = 1$.

Значения критерия $hR \cdot \frac{at}{R^2}$ те же; откуда t — время, необходимое для прохождения через 2-ую зону:
для брикетов диам. 6 см $= 0,14$ часа,
а для брикетов диам. 15 см $= 0,53$ часа.

Время прохождения через третью вспомогательную зону определяется из следующего.

Средняя температура брикета при вступлении в третью зону:

$$1000^\circ - \frac{(37,6^\circ + 68^\circ) \cdot 1,06}{0,21} = 469^\circ.$$

Температура брикета по отношению к средине:

$$469^\circ - 164^\circ = 305^\circ.$$

Теплоемкость брикета по отношению к средине:

$$305 \cdot 0,21 = 56,6.$$

Средняя температура брикета не может быть ниже средней температуры средины, а потому $\psi = 42 : 56,6 = 0,74$ и $\frac{at}{R^2}$ для брикета в 6 см = 0,9, а для брикета в 15 см = 0,30, откуда $t_{15}'' = 0,06$.

Теперь можем определить время прохождения брикетов через всю зону охлаждения.

Для брикетов диам. 6 см $0,14 + 0,14 + 0,9 = 0,37$.

Для брикетов диам. 15 см $0,53 + 0,53 + 0,06 = 1,12$.

Время прохождения брикета через всю шахту будет:

Процессы	Для брикета в 6 см	Для брикета в 15 см
Сушка	1,37 часа	5,3 часа
Нагревание	0,42 .	1,39 .
Диссоциация	2,23 .	8,3 .
Охлаждение	0,37 .	1,12 .
Всего	4,39 часа	16,11 часа

VII. УСТАНОВКА ПО ОБЖИГУ РЫХЛОГО МЕЛА

а) Общие замечания

Изучив (выше указанными методами) влияние разных факторов на процесс обжига мела, нами запроектирована установка для получения извести из мела, согласно прилагаемым чертежам. Особенности этой установки заключаются в следующем:

- 1) мел, раньше чем поступить в печь, брикетируется;
- 2) процесс брикетирования идет автоматически и непрерывно;
- 3) загрузка в печь происходит также непрерывно и автоматически;

4) брикеты в печи подвергаются возможно меньшему давлению от собственного веса лежащих над ними слоев. Это достигается двумя приемами:

а) обжиг производится по возможности быстро и этим уменьшается необходимый об'ем печи;

б) печь книзу расширяется так, что удельное давление на нижележащие брикеты уменьшается;

5) максимально механизированы процессы при помощи недорогих и потребляющих немного энергии приспособлений;

6) облегчен труд обслуживающего персонала;

7) получен мощный по своей производительности агрегат. Это удовлетворяет тем требованиям, которые мы выдвинули выше к желательной установке.

6) Разработка мела и его брикетирование

Мел в карьере разрабатывается механически—фрезерным или гидравлическим способом (второй способ окажется, вероятно, наиболее удобным и выгодным, если мел придется обогащать утес осаждения). Добытый мел транспортируется (см. проект печи для обжига брикетов) лентой(1) в бункер. Из бункера мел енточным питателем (2) подается непрерывно на брикетировочные прессы (3). Брикетировочные прессы выбраны исходя из готовящихся на заводе БССР двух систем прессов (черт. 1—2):

1) фрикционные прессы для меньшей производительности 12—20 т в сутки;

2) эксцентриковые для большей производительности 80—100 т.

Фрикционный пресс—25-ти тонный и, как видно из прилагаемого чертежа, к подвижной его части вставлены три цилиндрических 8-ми гранных пуассона. Эти пуассоны входят плотно соответствующие им трубки, укрепленные в столе пресса (4). Нижней части трубки имеются суживающиеся наконечники (5), аверху же трубки имеют общую воронку (6). Мел из бункера енточным питателем (2) подается непрерывно в воронку (6), одничающиеся и опускающиеся пуассоны выдавливают мел через призматические трубки с наконечниками в виде призматических 8-ми гранных брикетов. Сужение наконечника поддается таким, чтобы давление пуассона было около 50—100 атмосфер. Выходящий из трубки меловой брикет поддерживается площадкой (7), связанной с механизмом (8). Во время выхода брикета из цилиндра площадка поддерживает его снизу; когда же брикет вышел из-под пресса на определенное расстояние, площадка наклоняется, брикет отламывается и попадает на ленту (9), одающую его в загрузочный механизм шахты (10).

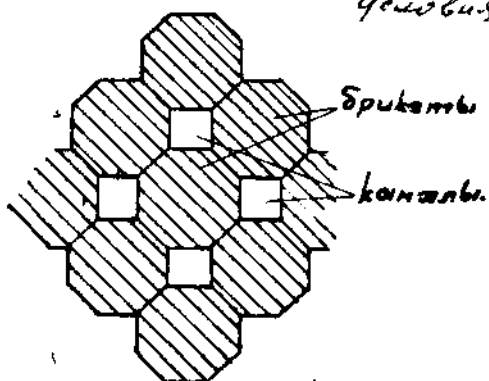
Форма брикета взята 8-ми угольной из следующих соображений.

1) При этой форме брикеты в печи с большей вероятностью будут соприкасаться друг с другом по плоскости, а не по точке

или линии, а значит напряжение, вызывающее раздавливание брикетов, будет меньше. (Теоретически брикеты с цилиндрическими поверхностями должны при сдавливании вызвать напряжение, равное бесконечности).

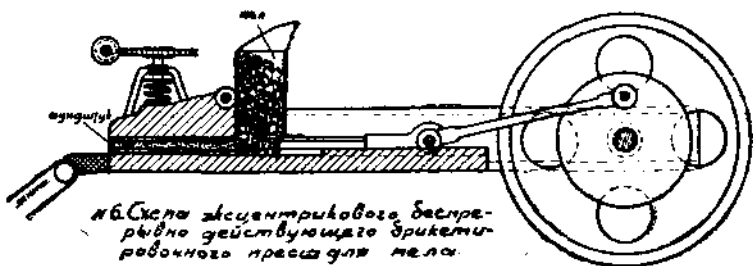
2) 8-ми угольная форма брикета не дает возможности заполнить все сечение шахты сплошь массой брикетов, и там безусловно должны оставаться определенные каналы, как это можно видеть из прилагаемой схемы.

*Схема неудачной прессовки
чугунных*



N5 Схема расположения восеми- гранных брикетов в шахтной печи.

В эксцентриковом прессе брикеты получаются плоскими. Эта форма взята нами из тех соображений, что, как мы это видели, при наших теоретических выкладках, плоские брикеты должны

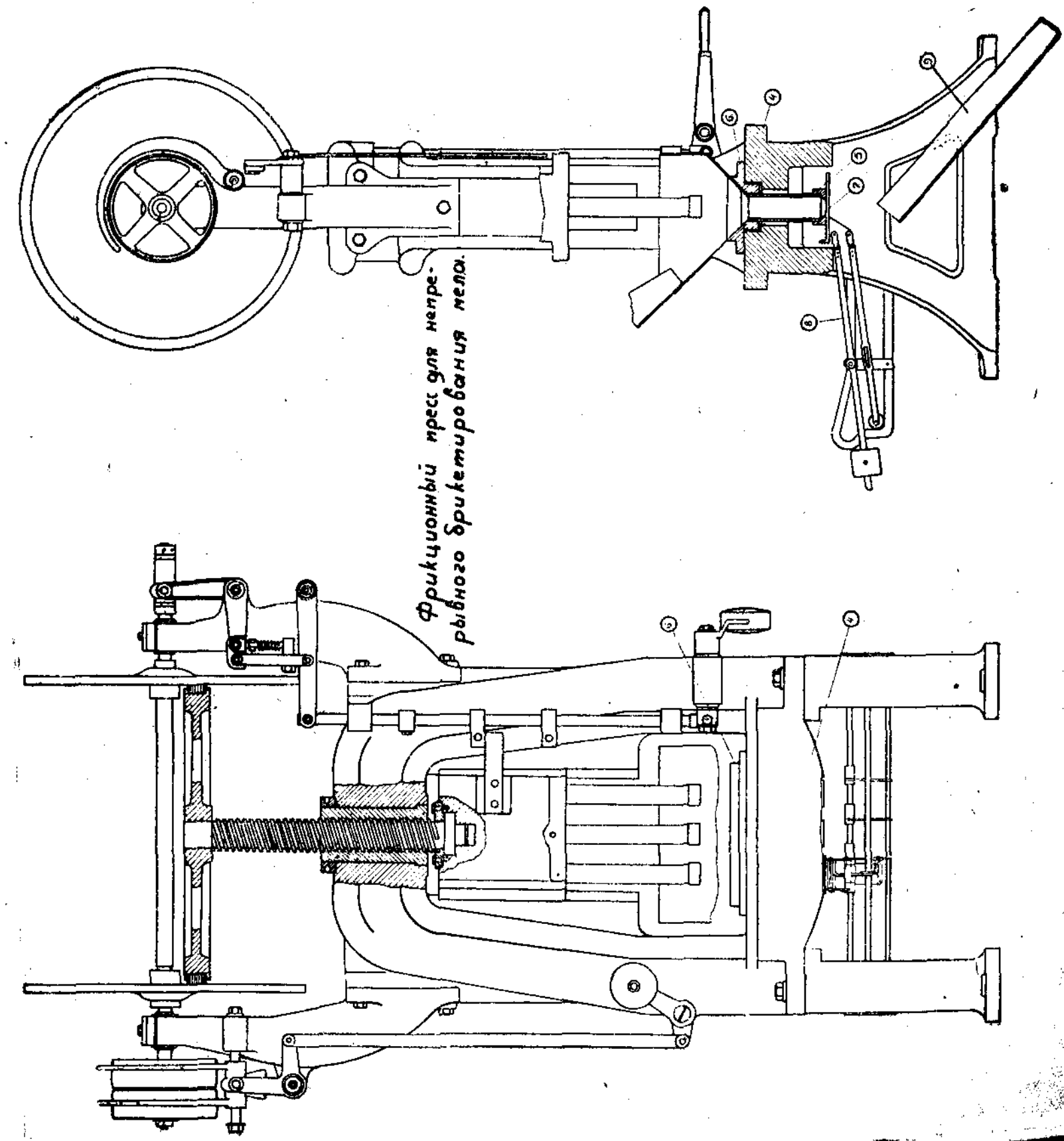
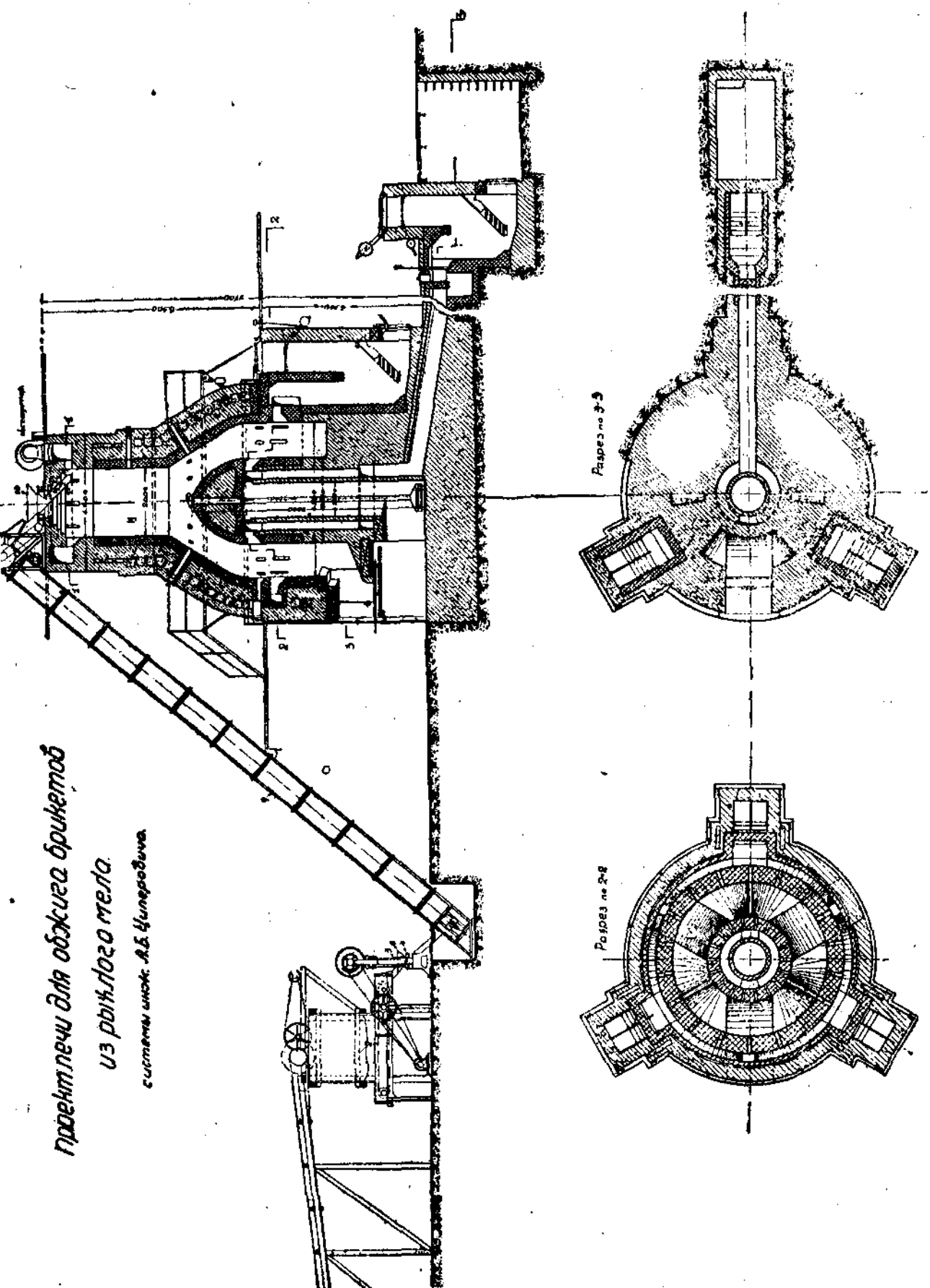


действие
обжигаться в два раза быстрее круглых. Полагаем, что плоские брикеты окажутся слабее круглых и только практика покажет, на какой форме брикета нужно остановиться. Действие эксцентрикового брикетировочного пресса видно из схемы (№ 6).

набор пневмо для обжига брикетов

из рудничного тела

составил инж. А.Б. Чупрович



Кривошип при помощи шатуна за каждый оборот подает определенную порцию брикета из мундштука. Выходящие из пресса брикеты подаются лентой (9), как мы уже сказали, в воронку загрузочного механизма (10), откуда через рукав (11) они попадают в печь.

Действие загрузочного механизма следующее: при помощи червяка приводится во вращательное движение венец загрузочного механизма. К этому венцу прикреплена воронка с рукавом, так что воронка и рукав врачаются вместе с венцом. Рукав закрытый и имеет открывающиеся во внутрь дверцы (12). Эти дверцы должны мешать засосу воздуха внутрь печи через загрузочное отверстие. В самой печи брикеты укладываются рукавом у самых стенок и таким образом наваленные брикеты образуют воронку, имеющую центр в средине шахты. Угол наклона воронки—угол естественного откоса брикетов. Такая загрузка печи должна содействовать более правильному распределению газа в шахте, так как обычно он, имея стремление направляться вверх у стенок ее. При воронкообразной же загрузке шахты в средине ее сопротивления уменьшены и газы проникают туда легче.

в) Конфигурация и устройство шахтной печи

В верхней части печь имеет цилиндрическую форму диаметром 2 м и высотою в 2,6 м от верхнего края рукава питателя. Дальше шахта переходит в усеченный конус высотою около 2,5 метра. Затем усеченный конус переходит в цилиндрическую форму диаметром в 4,5 м и высотою в 2,6 метра. Внутри нижней цилиндрической части шахты, в центре ее, поставлен пустотелый цилиндр из кирпича, имеющий в верхней части коническую форму. Образующие конуса цилиндры идут параллельно образующим усеченного конуса шахты. Дно шахты имеет наклонные плоскости, направленные к разгрузочным отверстиям. Пустотелый цилиндр, оставленный в средине шахты, имеет в своих стенах каналы, отводящие газ к отверстиям в верхней части цилиндра. Эти отверстия открыты в сторону шахты. Через ось цилиндра проходит пустотелый вал, оканчивающийся над конической частью цилиндра углубленным пустотелым толкателем.

Низ вала связан с вращающейся частью редуктора. Редуктор стоит внутри у основания цилиндра.

Печь обслуживается полугазовыми шахтными топками. Газ из них топок распределяется по кольцевым каналам вокруг цилиндрической части шахты, где предполагается зона обжига. Канал имеет наклон от топок в обе стороны. Из канала газ через окнаходит в шахту. Окна расположены по всему периметру шахты. Высота топки от решетки до окон—свыше 3,5 метра.

Разгрузочное приспособление имеет вид площадки, катящейся на колесиках по рельсам. При работе печи площадка выдвинута

и обожженный мел попадает на нее, вываливаясь из разгрузочных отверстий шахты под углом естественного откоса. Во время разгрузки печи под разгрузочной площадкой подставляется тележка; площадка двигается по рельсам внутрь печи и брикеты с площадки падают в тележку. Для дальнейшей работы печи площадка опять выдвигается. Желая сделать разгрузку непрерывной и механизировать ее, можно кривошипным механизмом заставить площадку непрерывно вливаться и выдвигаться на определенную длину и брикеты непрерывно будут падать в подставленную под площадку тележку. Разгрузочные отверстия прикрыты свисающими металлическими фартуками.

Если же брикеты разгрузочной площадки под действием влаги, поглощенной ими из воздуха и распадутся, то это не играет роли, так как осколки не забывают прохода в самой печи.

Об'ем запроектированной нами шахты будет:

Цилиндрическая часть

$$\text{Об'ем} = \frac{\pi D^2 h}{4} = \frac{3,14 \cdot 4 \cdot 2,2}{4} = 6,9 \text{ м}^3.$$

Коническая часть

$$\begin{aligned} \text{Об'ем усеченного конуса} &= \frac{1}{3} \pi h (R^2 + Rr + r^2) = \\ &= \frac{1}{3} 3,14 \cdot 2,2 (4,5^2 + 9 + 4) = 77,4 \text{ м}^3. \end{aligned}$$

Конус внутреннего цилиндра

$$\text{Об'ем} = \frac{1}{3} \pi r^2 h = \frac{3,14 \cdot 1,8 \cdot 2,5^2}{3} = 11,8 \text{ м}^3$$

Кольцевая часть

$$\text{Об'ем ее равняется} \frac{\pi (D^2 - d^2)}{4} = \frac{3,14 (4,5^2 - 2,5^2)}{4} 1,2 = 13 \text{ м}^3.$$

Зона охлаждения

$$\text{Об'ем ее равняется:} \frac{\pi (D^2 - d^2)}{4} = \frac{3,14 (4,5^2 - 2,5^2)}{4} 1,8 \cdot 0,75 = 14,9 \text{ м}^3.$$

Общий об'ем шахтной печи = 100,4 м³.

Примечание: Для зоны охлаждения взят об'ем с коэффициентом 0,75 в этой зоне, так как в последней имеются отвалы к выходам, уменьшающие об'ем шахты.

г) Производительность печи

Определим производительность печи по ее об'ему, считая удельный вес извести в брикетах за 1, коэффициент наполнения печи—0,5.

Общий вес брикетов извести, который могут поместиться в зонах обжига, нагрева и сушки печи, будет:

$$0,5 \cdot 85,5 \cdot 1 = 42,75 \text{ тонны}$$

Брикеты, имеющие диаметр 6 см, как мы видели раньше, должны пройти зону сушки, нагревания и диссоциации за 4,39 часа а брикеты, имеющие диаметр в 15 см за 16,11 часов. Следовательно, суточная производительность печи, исходя из ее об'ема, будет для брикетов, имеющих диаметр 6 см:

$$\frac{42 \cdot 24}{4,39} = 239 \text{ м в сутки},$$

а для брикетов имеющих диам. 15 см

$$\frac{42 \cdot 24}{16,11} = 63 \text{ тонны.}$$

Этой производительности в данной запроектированной печи получить нельзя будет, так как ее лимитирует возможность сжигания нужного для этого количества топлива в запроектированных тепло-сжигательных устройствах. (Расчет производительности печи при запроектированных нами топливо-сжигательных устройствах мы даем ниже). Лишний же об'ем шахты считаем полезным, т. к. наши выводы построены теоретически и проверены только лабораторно.

Как мы видели из вышеприведенного расчета, производительность печи может колебаться в очень больших пределах и лимитом производительности предлагаемой печи является топочное устройство. На чертежах показаны три топки с зеркалами горения в 1,2 м каждое, затем цилиндр снабжается газом из генератора с сечением зоны газификации $1,5 \text{ м}^2$. Для топок можно брать нагрузку на зеркало горения в $350 \text{ кг}/\text{м}^2$, а для шахты генератора 200 кг , (генератор предполагается ввести на смеси торфа и дров). Следовательно, на этом топочном устройстве можно будет сжигать дров ($1,2 \cdot 3 \cdot 350 + 1,2 \cdot 200 = 34200 \text{ кг}$ в сутки).

Поскольку удельный расход топлива в этой установке должен быть около 0,67, то суточная производительность печи, исходя из ее топливосжигательной способности, будет:

$$\frac{34200}{0,67 \cdot 1000} = 51 \text{ м в сутки.}$$

При установке еще одной топки к этой печи производительность, понятно, повысится. Для работы печи при том режиме, на который был произведен ее расчет, нужно, конечно, подобрать брикет определенного размера.

д) Мощность моторов для брикетировочных прессов

Для получения одной тонны известняка из климовичского мела, как мы это видели раньше, нужно обжечь 2,1 брикетов. Обозначая площадь брикетов через Ω , среднюю скорость прохождения через мундштук в метрах через V , давление, с которым выдавливаем мел через мундштук, $P \text{ кг}/\text{см}^2$, коэффициент полез-

ногого действия брикетировочной установки через $\tau = 0,6$, то мощность мотора N (л. с.) найдем из следующего выражения:

$$\frac{\Omega \cdot P \cdot V_k}{75\tau} = N; \text{ но } \frac{V\Omega \cdot 360}{10^4} = \frac{\text{час из потока из зефир}}{\text{часовому объему мела в метрах}} = \frac{2,1}{\gamma}.$$

откуда

$$N = \frac{2,1 \cdot 10^4 \cdot 60}{\gamma \cdot 3600 \cdot 75 \cdot 0,6} = 5,2 \text{ л. с. (при } \gamma = 1,5).$$

Отсюда мы видим, что для брикетирования 2,1 т мела в час что даст 1 т извести, потребуется мотор мощностью в 5,2 л.с.

в) Анализ особенностей формы и конструкции установки

При выбранной форме печи брикеты не подвергаются в ней большой нагрузке. В самом деле, на единицу площади сечения верхнего цилиндра внизу удельное давление может быть выражено следующим уравнением:

$$\frac{\pi D^2 \lambda \cdot \gamma \cdot K}{4} : \frac{\pi D^2}{4} = h \gamma K,$$

где h —высота шахты под данной поверхностью, γ —вес одного дециметра брикета, равный 1,5 кг., K —коэффициент наполнения шахты, равный 0,5. Следовательно, давление на брикеты в нижней части цилиндра (в атмосферах) будет $\frac{2,4 \cdot 1,5 \cdot 0,5}{100} = 0,18 \text{ atm.}$

Вычислим загрузку на брикеты, находящиеся в самом неблагоприятном положении в отношении раздавливания, именно лежащие в самой нижней части шахты. Об'ем шахты, как мы видели раньше, равен 100 м³. Если считать, что брикеты в шахте обожжены на 25 проц. и наполнение шахты равняется 0,5, тогда вес брикетов в об'еме шахты равняется:

$$100 \cdot 0,5 \cdot 1,5 \cdot 0,75 = 56 \text{ тонн.}$$

Площадь давления этого веса будет:

$$\frac{\pi(D^2 - d^2)}{4} = \frac{3,14(4,5^2 - 2,5^2)}{4} = 11 \text{ м}^2,$$

откуда удельное давление на брикеты, лежащие на дне шахты, равняется 0,5 atm. Мы видим, что в шахте данной конфигурации брикеты будут подвержены давлениям, значительно меньшим тех, каким они были подвержены в лабораторных испытаниях на раздавливание в навалку. Фактически это давление будет еще меньше, так как часть тяжести брикетов в шахте воспринимает на себя пустотелый цилиндр, находящийся в средине печи. Уменьшение давления на дно шахты, вследствие восприятия в части давления внутренним цилиндром, не учтено и не введено в расчет определения давления на дно шахты.

Форма и устройство внутреннего цилиндра шахты. Размер цилиндра взят таким, чтобы толщина слоя брикетов в зоне обжига (несмотря на большой объем печи 100 м³, и высоту не больше 7 м) была бы равна 1 метру. Цилиндр имеет внутреннюю полость диаметром 1 метр. Эта полость сделана для того, чтобы можно было (если это понадобится) залезать внутрь цилиндра и производить ремонт его (конечно, для этого нужно будет принять некоторые меры предосторожности раньше чем пустить туда рабочего для ремонта, напр. произвести вентиляцию, одеть рабочего в специальную одежду, не так легко воспламеняющуюся и т. д.) Вертикальный вал цилиндра с толкателем на конце, вращаясь, должен будет мешать образованию козлов внутри печи и нарушать их, если начнется их образование (образование козлов в этой печи вообще маловероятно, поскольку шахта печи имеет расширяющуюся книзу форму). Вал, проходящий через цилиндр, сделан пустотелым с тем, чтобы через него можно было осуществить водяное или воздушное охлаждение толкателя. Вылеты для газа в верхней части цилиндра лежат несколько выше отверстий каналов топок и расположены по отношению к ним в шахматном порядке. Этим достигается то, что газы, выходя из нижней части зоны обжига и охлаждаясь в процессе диссоциации, снова подогреваются так, что их температура всегда выше температуры диссоциации и таким путем обеспечивается равномерная температура обжига во всей зоне.

Какое громадное значение имеет повышение температуры в зоне обжига свыше 350° на скорость обжига, мы можем проследить на приведенной нами выше номограмме.

Конструкция и форма топок.

Для печи выбраны полугазовые топки с тем, чтобы:

1) процессы горения заканчивались не в топке, а в самой шахте и этим обеспечивалась бы в шахте температура не слишком высокая (которая может дать мертвый обжиг) и не слишком низкая. Низкая температура также чрезвычайно нежелательна. Если повышенная температура газов увеличивает скорость обжига пропорционально разности между температурой газов и 850°, то понижение температуры действует замедляющим образом в гораздо более сильной степени. Понижение температуры газа на 100° от 850° замедляет скорость диссоциации во много раз (как мы видели раньше);

2) кроме того полугазовая топка дает возможность использовать тепло, выносимое брикетами из зоны обжига: воздух, необходимый для окончания процесса горения, пропускается не через топку, а через зону охлаждения, где он забирает тепло, выносимое брикетами из печи и вносит его обратно в печь. Топка поставлена низко с тем, чтобы получить в ней гидравлический напор газов и этим обеспечить выход их из отверстий с извест-

ным давлением, под которым газы могли бы проникнуть во всю толщу обжигаемых в печи брикетов.

Разгрузочное приспособление печи.

Разгрузочное приспособление печи выбрано такой системы, чтобы его легко можно было механизировать и вместе с этим пользоваться им вручную. Фартук над разгрузочным отверстием имеет целью заставить воздух, раньше чем войти в шахту, пройти через обожженную известь, лежащую на площадке и отдать ей свою влагу. Таким образом брикеты в шахте, омываясь сухим воздухом, не распадутся¹⁾.

* * *

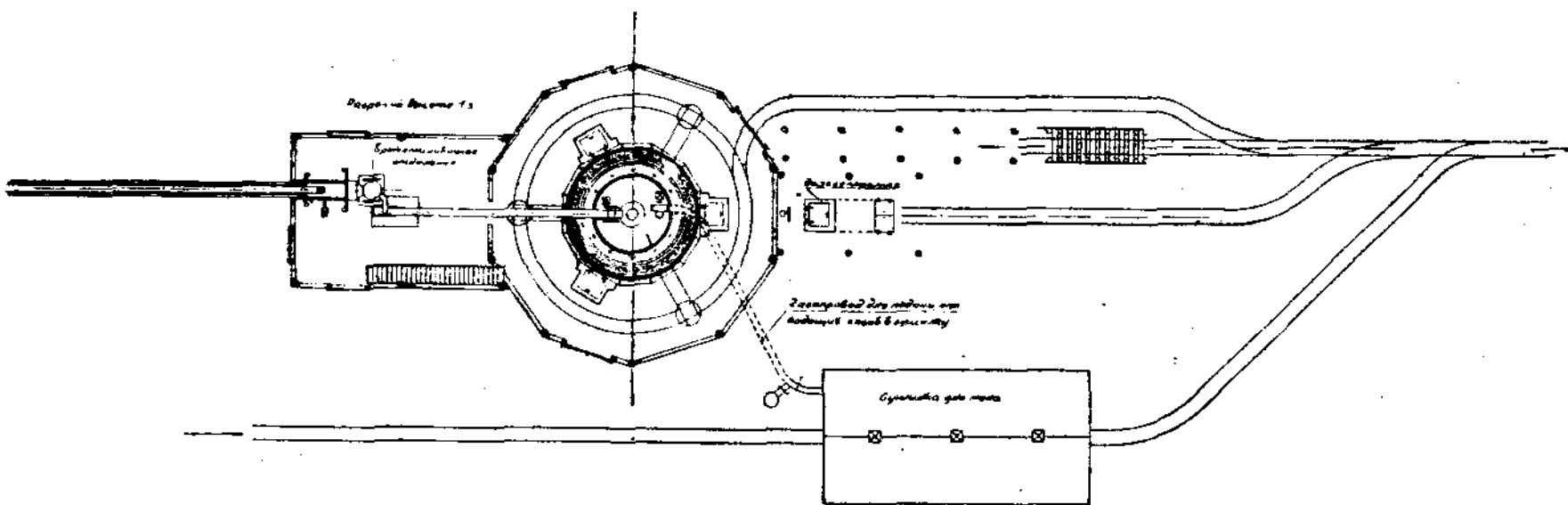
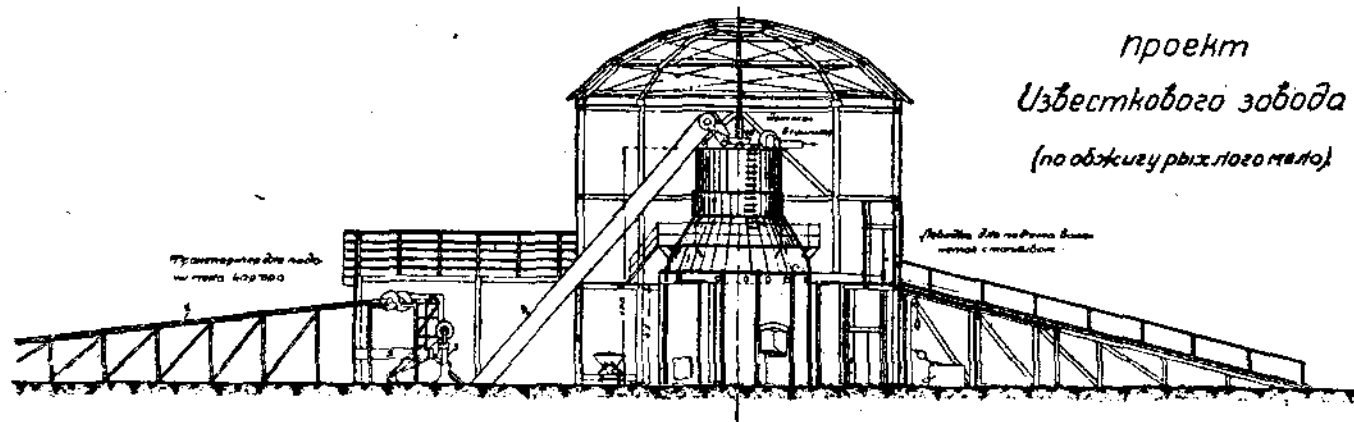
Мы дали в этой работе, являющейся результатом выполнения задания промышленности, метод обжига рыхлого мела путем брикетирования. Выбранный нами метод подкреплен экспериментальными данными и теоретическими расчетами. Для возможности практического осуществления обжига рыхлого мела по данному методу мы должны были разработать оригинальные конструкции на основе соответствующих расчетов.

Нам думается, что вопрос практического освоения рыхлого мела, как сырья для извести, можно считать принципиально разрешенным и этим самым открываются широкие возможности рационального использования этого качественно своеобразного сырья.

Б. Б.
1963 г.
107

¹⁾Конструктивная часть настоящей работы выполнена при помощи конструктора Белорусского научно-исследовательского института промышленности т. Бартновского, а экспериментальная часть — при помощи сотрудника ин-та Шрайбман.

Проект
Известкового завода
(по обжигу рыхлого шлака)



ВЫШЛІ З ДРУКУ

наступныя працы Навукова-даследчага інстытута
прамысловасці БССР

I. Спальванне фрэзернага торфу

1. Я. Б. Цыперовіч—Методы і прыёмы спальвання фрэзернага торфу.
2. Я. Б. Цыперовіч—Дынаміка працэсу гарэння фрэзернага торфу.
3. Я. Б. Цыперовіч—Канструкцыі ўстановак НДІ прамысловасці па спальванню фрэзернага торфу.

1934 г., цана 1 р. 40 к.

II. Известь из мела

1. А. Б. Циперович—1) Теория працеса обжига
- 2) Рассчет известковой шахтной топки.
- 3) Конструкция шахтной печи для обжига рыхлого мела.

III. Мясцовая сырavіна для шкляной вытворчасці

(Частка 1)

1. І. І. Кітайгародскі і Н. С. Брэгман—Выкарыстанне даламітаў у механізаванай вытворчасці шкла.
2. І. І. Кітайгародскі і І. В. Мяхлоў—Пылавідны лясок у працэсе шкло ўтварэння.
3. І. І. Кітайгародскі, В. Лапацінская і А. Розін—Лёгкаплаўкі азёрных глін у шкляной вытворчасці.
4. І. І. Кітайгародскі і Д. Дэмітраў—Скарыстанне глаўканітавых парод у шкляной вытворчасці.
5. І. І. Кітайгародскі, В. Лапацінская і Д. Дэмітраў—Доследы асвятлення шкла з глаўканітавых і лёгкаплаўкіх азёрных глін.
6. С. Я. Гурэвіч і А. Я. Розін—Да праектавання новага шклозавода на базе лёгкаплаўкіх глін Асінаўскага раёна.

IV. Аэробная мочка ільну(частка 1)

1. Праф. Макрынаў І. А.—Агульная характеристыка способу аэробнай мочки ільну.
2. Раро Я. С.—Грыбы ў працэсе аэробнай мочки ільну.
3. Булгакова М. П.—Анатамічнае і мікракімічнае даследование ільнянай саломы, трасты і валакна пры аэробнай мочцы.

4. Капцелава Р. Ф.—Хімічны састаў саломы, трасты, валакна і мачыльнай вадкасці аэробнай мочкі саломы.
5. Пескін А. Л.—Тэхналогія аэробнай мочкі ільну дажджаваннем

V. Будаўнічыя і вяжучыя матэрыялы на базе мясцовай сырэвіны БССР (частка 1)

1. Я. С. Віткін—Кааліны БССР і іх прымесы для скрыстанне.
2. Г. М. Чарненка і І. В. Семёнаў—Агнетрывалья гліны БССР і горных адводаў.
3. І. П. Райгарадзецкі і П. В. Захаронак—Кераміт з глін БССР штучны пемзавідны матэрыял для цеплабетону.
4. В. А. Краснашчок а ў—Трэпелы БССР, як гідраўлічная да баўка да партланд-цементу.
5. В. А. Краснашчок а ў—Уплыў тэмпературы на гідраўлічны ўласцівасці трэпелаў.
6. В. А. Краснашчок а ў—Даследванне пылавідных пяскоў, як дамешкі да партланд-цементу.
7. І. П. Райгарадзецкі—Будаўнічая цегла з глін БССР па спосабу сухога прэсвання.

1934 г., цана 2 р. 70 к.

VI. Сушильные установки (теория, расчет, схемы конструкции) ч. I

1. И. Л. Любошиц—Камерная сушка бумаги.
2. И. Л. Любошиц—Непрерывно-действующая ленточная сушилка для мела.

VII. Мінеральныя ўгнаенні на базе сожаўскіх фасфарытаў (частка 1)

1. Праф. С. І. Вальковіч—За соцыялістычную тукавую прымесы сырэвіны БССР.
2. П. Розін—Фасфартная база БССР (геолаго-еканамічнае харарактарыстыка сожаўскага месцалягіння)
3. Д. Гурэвіч і К. Апушкін—Экстракцыя фосфарнай кіслаты сожаўскага фасфарыта сярчанай кіслатой.
4. Л. Гурэвіч—Прэцынітаванне фосфарнай кіслаты мясцовай рухляковай крэйдай.
5. Л. Гурэвіч і Р. Сіманоўская—Суперфасфаты з сожаўскага фасфарыта.
6. Л. Гурэвіч і Р. Сіманоўская—Дзотна-кіслотная пераапрацоўка сожаўскага фасфарыта.
7. Л. Гурэвіч і Б. Прыборкін—Амрафос з сожаўскага фасфарыта.

8. Ф. Белаш, Р. Сіманоўская і В. Прыборкін—Флатацыйны канцэнтрат з сожаўскага фасфарыта.

VIII. Асваенне вытворчасці (ч. 1)

(Зборнік, прысвячаны XVII Парламенту)

1. В. Краснашчока ў—Асваенне Крычаўскага цементнага завода.

2. А. Б. Цынеровіч—Рэканструкцыя Дзяржынскага вапнавага завода.

3. Н. Брагман, В. Лапацінская і Д. Дэмітраў—Устаноўленне правільнага рэжыму адпальвання шкла на заводе "Октябрь".

4. М. Я. Робінаў, І. Л. Марковіч і А. Д. Шапіра—Асваенне кастры і саломы ільну-даўгунца ў папяровай вытворчасці.

5. Д. Мінкоўскі і Ю. Пяска—Да пытання асваення электрабасталявання прамысловых прадпрыемстваў.

6. А. Б. Цынеровіч—Дадзор і аналіз газаў (патэнт аўтара № 18573)

ДРУКУЮЦЦА

IX. Скура (Зборнік навукова-доследчых прац, ч. 1)

1. Ф. Осіпенка—Кансерваванне скуры сабак.

2. Ф. Осіпенка—Кандыцыраванне апойка.

3. Ф. Осіпенка і С. Анцелевіч—Дубіцелі з торфу.

4. Ф. Осіпенка і Э. Ліпкіна—Сінтэтычны дубіцелі з торфу.

5. Ф. Осіпенка і С. Анцелевіч—Уплыў процантнага саставу вокісу хрома і тлушчу на фізіка-механічныя ўласцівасці скуры.

6. Ф. Осіпенка і Л. Капелевіч—Уплыў прыроды тлушчу на фізіка-механічныя ўласцівасці скуры.

7. Л. Капелевіч—Уплыў захавання голля ў пікеяваным відзе на якасць скуры.

8. Ф. Осіпенка і Г. Кастэнка—Павышэнне вадаустойлівасці казеіновых фарбавальнікай.

РЫХТУЮЦЦА ДА ДРУКУ

X. Да харектарыстыкі тэхналагічных уласцівасцяў глін БССР

1. А. М. Розін—Геалагічны нарыс месца залягання глін БССР.

2. П. П. Міхалап—Харектарыстика керама-тэхналагічных уласцівасцяў глін БССР.

XI. Гідроліз торфу (атрыманне спірту з торфу).

XII. Пірафіліты БССР і іх скарыстанне.

XIII. Сушильныя и печныя установкі (ч.II).

СЕМІОНІВКА. РАЙОН.

К проекту завода для обжига рыхлого мела
на известь.

✓ *При попытке*
Б проекту завода для обжига рыхлый
мел на известь в сосновенных жактных
печах приходится встречаться с одним
обстоятельством, которое делает этот ме-
тод неприменимым. Рыхлый мел в печи не
держивает удаления своего собственно-
го веса и крошится. Стоя крошка вместо в
остальной молочке забывает пустоты между
отдельными кусками мела, не дает прохо-
дить через печь и таким образом печь
заглушается. *тогда*.

из исследовательской работы Гед. Пан-
чино-Содоловского института пра-
миллионист на вопрос обжига мела
можно сделать следующие практические вы-
воды: (см. выпуск II-й работами проин-
вести под наименованием "известь из мела".

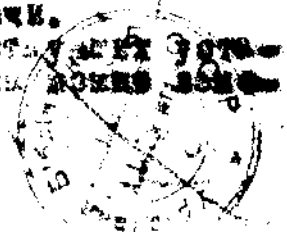
1. Рыхлый мел, при влажности 20%,
если его забрасывать в печь, полу-
чает достаточную прочность, при кото-
рой это можно обжигать в жактных печах
сравнительно большой высоты.

2. Форма и размер брикетов сильно
влияет на скорость обжига и, следователь-
но, на производительность печи.

3. Для уменьшения количества на изве-
щие и нижней части печи засыпки со стороны
высеваемых кусков печь должна иметь фор-
му при короткомечевое сильно расшира-
ется.

4. Брикетный пункт должен так-
же лести к борьбе с образованием спло-
щихся кусков извести в печи.

5. На практически существует 3 эта-
новок для обжига известики, можно засе-



теть, что для лучшей работы печи и полу-
ченю лучшей извести полезно соблюдать
следующие условия.

5. Что-б толщина слоя мела промышлен-
ного извеcтия была бы не больше 1'00" в
горизонтальном направлении.

6. чтобы в грунка и в грунка печи про-
изводились непрерывно.

7. Желательный в измельчении кирпич
сам по себе широке употребляемым цементом
сфоль промышленности и это приведет нас
к выводу, что для лучшего использования
топла печи для обжига извеcтия не зачем стро-
ить печи высотой в 22-24 м., так это де-
шевле иногда для извеcтики, а горизон-
тально не хуже и это снизит температуру
для отходящих газов из печи при-
том снижение высоты печи, с тем, что бы
тепло уносимое этими газами испльзовать
в сушилках для извеcти, которая должна быть
построена при зажимах печей для обога-
щении извеcти.

Вышеуказанные соображения могут в
основу данного проекта заложить.

ОЧЕДНОЕ СПИСАНИЕ УСТАНОВОК.

П. 9.3.3.

Печь имеет форму широкогорлой буты-
ли с полным сердечником большого диаметра
в середине ее. Конфигурация печи такова,
что площадь ее сечений измених блоки и
основание все растут, что можно видеть на
прилагаемой схеме, где на оси ординар от-
ложены высоты, а на абсциссе—площади
соответствующих дамбах высоте сечений изме.
На первом ярусе печи между двумя загруженными
отверстиями расположены 4 полурамератор-
ных точки для скрепления горфа. Из таких
же

продукты горения с вертикальным каналом, вдуванием сверху и колычевым окнами изнутри, печь в зоне обжига подается через окно в печь. Сердечник имеет в толще своих стен два вертикальных канала, перекрещивающих в колычевой машине в верхней части сердечника с вылетами в зону обжига печи. Через эти два вертикальных канала газ из патрубка горя подается в печь. Сердечник имеет центральную цилиндрическую подсть диаметром в метр, что дает возможность обсушивать либо карбера изнутри.

Воздух для сжигания газа выходит из сердечника и дополнительный воздух для дожигания продуктов горения выходит из карбера подается в печь со стороны 4-х разгрузочных отверстий помощников в нижней части печи между топками. Этот воздух охлаждает выхлопную из печи ванкусть, а получившее им тепло вводят обратно в печь. Иходящий из печи ванкусть прикрыт железными фартуками, которые застегиваются воздухом, который проходит через отверстия в фартуках и, таким образом, отдать ему свою влагу что предохранит ванкусть от выступающей из печи от рабочей дымки.

В нижней части сердечника наименее ряд отверстий для воздуха эти отверстия могут быть ре узкими.

ЗАГРУЗОЧНОЕ ПРИСПОСОБЛЕНИЕ К ПЕЧИ

Питательный баррабан.

Желоные брикеты подаваемые автоматом к загрузочному отверстию печи подаются в верхнюю коронку барабанного питателя. Барабанный питатель состоит из

наруженного цилиндрического кожуха с двумя отверстиями на верху и низу к коже примыкают загрузочное и выгрузочное воронки. Внутри цилиндрического кожуха помещен барабан с 2 диаметральными отверстиями в его обрезуме. Барабан вращается с такой скоростью и с таким расчетом, что когда брикет выходит из него отверстие воронки падающей со стороны загрузочной воронки закрыто барабаном, и брикет в барабан не попадает при дальнейшем вращении барабана отверстие загрузочной воронки открывается, брикет из воронки попадает в барабан. Тогда барабан своим отверстием примыкает к выгрузочному отверстию кожуха, брикет выпадает из барабана и попадает на закрытый лоток ледущий брикет в загрузочное приспособление печи.

При таком питателье печь всегда отдалена от наружного воздуха.

Распределительный механизм

На лотке брикет падает в воронку распределителя в нутри нет. Распределитель предствляет собой металлический рукав расположенный радиально в верхней части печи. Рукав этот прикреплен к вертикальной оси пропущенной через деревянную крышу печи в ее центре. Esta ось производится механическим над печью за драматическое движение при помощи червячных колес образов рукав делает в нутри плавные движения вокруг оси центра, как син. Рукав в верхней своей части заканчивается воронкой, которая примыкает к воронке прикрепленной к верхней части крышки печи.

Брикет порошка в руках распределен для раскладки постыми в печи у стенок пакетов отдельными брикетами. Такая загрузка брикетов в печи важно в том отношении, что, во-первых, величина брикета должна в печи отдельно, не соединенный другими брикетами не слипается с ними и не образовывает больших глыб мела, которые заливают излишнее в печи. Во-вторых, такая загрузка подает за собой, то, что поверхность загрузки печи в центре ниже, а у стенок выше, и это должно способствовать лучшему распределению продуктов горения в печи и движению их брызг топлива к центру, куда они при выходе из печи тут же проходят.

Ангрудочный механизм

Изнутри печи около ангрудочных отверстий находятся две кирпичные тяжелые пластины прикрепленные к выходным отверстиям печи. Эти пластины должны равномерно выровнять известь из всей печи к загруженным отверстиям.

В выгрузочных отверстиях печи поставлены во всю ширину их ленточные разгрузочные механизмы. Известь из печи скатывается в чугунный наподобие конуса под помоющимся в выгрузочных отверстиях. Ленточный транспортер имеет над собой платформу в виде дна лодки по которой известь из печи в загородки высыпается вокруг печи.

Ход ленточного трактора регулируется с большими пределах. Передача движения от мотора к ленте осуществляется при помощи цепной передачи с храповым механизмом.

Т. В. Г. А

Тара печи искусственная. При помощи

эксплуатации все газы и продукты горения васасываются из печи через кольцевой канал. Все выходные отверстия кольцевого канала в печь расположены тангенциально по периметру печи для равномерного равномерного распределения тяги по периметру шахты.

Смотрение за кирпичом.

На наружной поверхности печи насыщены целий ряд гладелок высокой затвердости. Гладелки дают возможность наблюдать за работой печи и при надобности, можно ими возможно разбить кирпичи и в печи куски кирпича,

Газопровод и дымовая труба.

Продукты горения печи поступают в газораспределительный газопровод, который направляет их в атмосферу, в сушку для мела или предполагаемые к устройству вывод углекислоты.

Под самой печью пространена чугунная дымовая труба на случай порчи эксплуатера.

Винтовая прессовальная машина.

Пресс для брикетирования мела имеет конструкции, какая изготавливается во французском строительном заводе им. Броневская в Иль-де-Франс. Пресс экспресс-броневской конструкции выпускает из своего конического регулируемого мундюка ленту брикетированную под давлением до 500 кг/м. Выходящая из пресса лента разделяется запроектированным приспособлением на отдельные куски любого размера. Устройство этого приспособления видно на чертеже, в его работе происходит следующим образом: при каждом обороте пресса кулак на ободе машины

вина нажимает на кольчатый рычаг, который читает через второй рычаг праводвижат площадку на которую лежит выходящая из пресса брикетная лента сверху и отрезывает кусок брикета.

Отрезанный кусок брикета при следующем ходе пресса откалывается в морю. Процесс разрежки ленты на отдельные брикеты производится прессом при обратном ходе пресса.

З а п. в. з. з. Р.

Сбрасываемые с площадки брикетироочный машинки брикеты попадают на наклонный ковшовой конвейтор, (морю) который подает брикет в барабан питателя, а оттуда в печь.

Т о. п. б. д.

1-ре вихревые покуго-генераторы на топке выают от уплотнительной рамки и скажанье происходит на большой подушке. Топки предназначена для сжигания торфа и дров.

Г а. в. р. а. т. з. в

Газ для питания сердечника получается из газогенератора стоящего отдельно от печи. Газильцы для газификации должны служить торф. Поскольку обычные торфяные газогенераторы плохо спрашиваются с газификацией иллюмного торфа в этом генераторе сделана попытка заставить генератор работать и на более влажном торфе. основу его конструкции положено следующее:

Резистка сделана в виде крюка (дальше) для обеспечения правильного удаления золы и правильного распределения газов по пакету.

Крышка ракетки со стороны работы генератора качается, дробит спекшуюся воду и посыпавшая топливо более правильно распределяет торф в зоне горения, что должно способствовать лучшей газификации.

Начало дыхания происходит при помощи криоцидного механизма, величина качания регулируется. Шахта собственно газификации имеет высоту в два метра и служит какму для избежания прорыва газов по поверхности отвода газы не пронизывая толщу топлива. По обрам стоящим шахты для газификации имеются два выходных канала вступающие в общий газосборник откуда камлами выходит в печь.

Под шахтой газификации помещается шахта для сушки под торфа в начале процесса в два метра высотой, торф для чего проходит в зону газификации ~~в фургоне~~, подсушивается в частично происходит в нем процессе с ходя перегонки. Образовавшиеся в верхней части шахты газы смолы и пар отсыпаются вентилятором, находящимся в боковой стене шахты, в них удаляется вместе с необходимыми загрязнениями этим же вентилятором количество воздуха через решетку шахты в генератор. Для вытяжной сушки торфа, вентилятор просасывает через верхнюю шахту также и часть газов из нижней зоны разложения.

Оные первые смолы ком могут уноситься им из зоны шахты сквозь в zig-zag-образном трубопроводе ведущем к вентилятору. Рассыпанные на шахте более тяжелые смолы вместе с углеконденсирован. водой падают в водяной валик горения генератора, где разделяются образуя горячие газы.

И между Генератором и зиг-загообразным трубопроводом поставлены пылеуловители, извращающие зиг-загообразного трубопровода действовать осаждение смолы из газов, газы проходя по извращенному по пути трубопровода удерживаются об его стенки покрытой смолой и осаждают в них конденсацию смолы.

РАЗДЕРЫ И ПОКОЮЩИЕ СОСТАВЛЯЮЩИЕ ЧАСТИ ГЕНЕРАТОРА.

СТАНДАРТНАЯ ЛОДКА.

а) Цилиндрическая часть:

$$\Phi = 2,25 \text{ м высота} = 3,75 \text{ метр. Объем} \\ \frac{\pi}{4} \cdot 2,25^2 \cdot 3,75 = 14,92 \text{ метра}^3$$

б) Усеченный конус с сопряженной цилиндром.

$$\frac{\pi (2,25^2 + 2,25^2 + 2,25 \cdot 2,25)}{2 \cdot 4} \cdot 1,83 = \frac{\pi}{4} \cdot 16,15 \text{ метр}^3$$

$$= (2,32^2 + 0,5^2 + 2,32 \cdot 0,5) + \frac{\pi}{4} \cdot$$

$$(4,5^2 - 2,75^2) \cdot 0,9 = 14,95 - 2,2 + 3,3 = \\ = 16,05 \text{ метр}^3$$

в) Шириндающаяся часть до килотонны генератора.

$$\frac{\pi}{4} \cdot (4,5^2 - 2,75^2) \cdot 0,9 = 10,3 \text{ метр}^3$$

а) Холодильник.

$$\frac{\pi}{4} \cdot (4,6^2 - 2,5^2) \cdot 4,45 \approx 48,7 \text{ куб|куб}$$

в) Объем холодильника ограниченный заданными поверхностями.

$$\frac{4 \cdot 2,1 \cdot 1}{2} \approx 2,2 \text{ куб|метр} \quad \times$$

г) Общий объем жаркой печи:

$$14,92 + 16,55 + 10,3 + 18,7 = 60,2 \text{ куб|метр.}$$

Считая, что два куб|метра влажности дают в выгрузочных отверстиях общий рабочий объем печи можно считать равным 90 куб|метрам.

Количество мела необходимо для получения 1-го килограмма кирпича.

Принимая влажность брикетов поступающих в печь в 20%, брикеты в основном состоят в среднем 10% от рукоятного вещества мела, получаем, что на 1 кг. известняка вместе с мелом в печь брикеты указанные качества в количестве M , которое находится из уравнения:

$$M \left(1 - \frac{w}{100}\right) \left(1 - \frac{\ell}{100}\right) \cdot 0,56 + M \left(1 - \frac{w}{100}\right)$$

$$\frac{\ell}{100} = 1$$

$$\text{Откуда } M = \frac{w}{\left(\frac{w}{100}\right) \left(1 - \frac{w}{100} - 0,56\right) \frac{\ell}{100}} =$$

Прибавим к этим выражениям значение
в 6 их значение 20 и 10 получим

$$H = \frac{20}{(1 - \frac{20}{100})(0,56 + \frac{0,44 \cdot 10}{100})}$$

$$H = 270,56 + 0,044 = 2,1 \text{ ккал/кг...}$$

кгр.кв.метр.

ТЕХНОЛОГИЧЕСКАЯ РАСЧЕТ. ДАН.

ТАБЛИЦА

Температура горячей воды средней для шахты
45% элементарного состава рабочей массы

$$\text{Ср. } \frac{\text{Вр.}}{31,1\%} \text{ } \frac{\text{Орт.}}{3,16\%} \text{ } \frac{N_1}{17,1\%} \text{ } \frac{\text{Выход } A_0}{40\%} \text{ } \frac{\text{Др.}}{3,7\%}$$

Теплотворная способность этого топлива по Бендеровскому:

$$21,1 \cdot 31,1 + 300,2 \cdot 16 - 22 \cdot 16,5 - 6(9,3,17 + 4,65) = 2600 \text{ кал/кд}$$

Определение количества воздуха необходимого для сжигания кг данного топлива с избытком $\alpha = 1,14$, в количестве и составе отходящих продуктов горения и их теплотворности.

Зад.	Колич. вещ. в воду	Кислор. воздуха	Потребление воздуха	Тепло- свободность
	31 гр.	225 гр.	CO ₂ - 1139 гр. O ₂ - 294,6 гр.	0,24 0,47

1.	31 гр.	225 гр.	CO ₂ - 1139 гр. O ₂ - 294,6 гр.	0,24 0,47
2.	165 гр.	165	O ₂ - 367 гр. N ₂ - 1206	0,22 0,25
3.	0,6 гр.	3		
H ₂ O	460 гр.		H ₂ O - 460	0,47
Итого:		916,1 гр.	5526 гр.	0,214
		4282 гр.		1,773 316

Теплотворность
продуктов
сгорания

6,372	6,133	9,097	9,07
6,28	6,14	9,28	9,28
2,370 гр.			

Определение удельного расхода тепла
У если допустить, что температура вода на
входе в зону обогащения должна быть
меньше 300°, при этом предположим
что межовые брикеты вступают в зону
обогащения имеют среднюю температуру 300° а
валость выходная из холодильника имеет
среднюю температуру в 200° Для того
чтобы определить удельный расход тепла
воздуха У составим баланс тепла зоны обога-
щания исходя из одного кг. зерна.

Вход тепла в зону
обогащения кг. кало-
рии,

Тепло выносимое всплы-
вом 7,2600 = 7,2600

Тепло выносимое бри-
кетами в зоне обога-
щания
2,1.0,3.0, 1.850 = 300

Тепло выносимое воздухом из холодильника.
1.0,21 (-000-200)
,95 = 160

Расход тепла бри-
кетами зону обогаще-
ния кг. калории

Тепло вдущее в
ассоциации 2,1.0,3.0,
0,95,22542,1.0,0.0,
9,350 (0,21-0,35,
0,21 - 0,11,0,44) =
640,4

Тепло уносимое ме-
лостью из зоны об-
огащения
1,0,21,1000=210

Тепло выносимое
в продуктах горения
из зоны обогащения
1,77,900,7=1595,9

Тепло уносимое CO₂
ассоциации 2,1.0,3.
0,0, . . . = 300
потери в теплах.

У,2600,7,0,1000
Потери от задувки и
захвата в зоне обогащения
У,1000,6,0,2 = 780

Второй $Y_1 = 2600 + 460$ $Y_1 = 1777 + 994$

Проверивший расход тепла в единицу времени
его прохода находим из уравнения изменения
для T_1 .

$$T_1 = 2600 + 460 = T_1 = 1777 + 994$$

Откуда $T_1 = \frac{534}{325} = 1,65$ кгр.тогда
кгр.важести

или 6,612 условного топлива.

Температура отходящих газов за печь

Температуру отходящих газов за печь определяем из баланса тепла для всей печи.

Приход тепла.

Тепло приносимое газами из зоны обогащения

$0,65 \cdot 1,773 \cdot 90,04$

$$+ 144 = 1174$$

Расход тепла.

Тепло идущее на нагрев брикетов до темп. диссоциации
 $3,1,6,2 \cdot 0,6 \cdot 360 =$
 $= 298$

Тепло на испарение влаги брикетов
 $0,2 \cdot 0,010 = 269$

Теплота разложения продуктов горения
 $0,65 \cdot 1,65 = 1,134$

Теплота уносящая водянистотекущими
 $0,1,0,9 \cdot 0,8,0,4 \cdot 0,24 = 2$
 $\approx 20,16\%$

Нагрев пара образуемого от испарения
влаги брикетов

$$\begin{aligned} & 0,2 \cdot 0,8 \cdot 0,17 (\frac{T_0}{T_0 - 100})^2 \\ & = 0,1975 \cdot 19,75 \\ & \text{Потери в зоне } 1174 \cdot 0,1975 \\ & 6,56 = 70,44 \end{aligned}$$

Итого: $617,7 + 70,44$

Приравняв приход и расход тепла в печи определим из полученного уравнения найдем, что $\frac{1}{T_0} = \frac{1}{270} + \frac{1}{70} = 270,5$.

Количество теплоты которую можно получить из отходов из печи газов если их понизить до 100° получим из уравнения

$$0,77 \cdot 0,8 \cdot 200 \cdot 0,2 \cdot 0,47 \cdot 170 +$$

Теплота прод. горев. теплота от паров брик.

$$2,1 \cdot 0,8 \cdot 0,9 \cdot 0,44 \cdot 0,21 \cdot 270 = 292 \text{ ккал}$$

теплота теплота от уплотнености

Если использовать отходящее тепло из сушки мела и допустить коэффициент полезного действия сушильной установки будет 0,6 то за счет тепла получаемого из печи от исходящих газов получаемых из 1-го кирпича будет можно будет испарять воду

$$199 \cdot 0,6$$

----- * 0,172 кгр. / кал

100

Таким образом из отходах тепла из печи работающей при умеренных режимах можно будет поставить сушилку для мела производительность которой сушилки для мела будет равна производительности печи если при извлечении высушиваемого мела = 25-30%.

Температуру отходящих газов из сушки
сокровищ вакуумом можно будет при желании
задать непосредственно для цеха отходящей
сушки и т.д.

Изменение количественный и качественный состав
газов, выделяющихся из сушки сушки.

	CO ₂	O ₂	N ₂
Всё в сухом	1139,0,66	367,0,46	1286,0,652 (160 + 84)
воздухе	2100,0,8		1700,0,852
сухом	0,9	1,2	1,782 гр/л
	1400	38,1	177 + 1,26 = 197
			гр/л
Всё в сухом воздухе	770	181	2440

Таким образом продукты горения погруженные при сушке в 1-го кгр. воздухе приходят по весу - 5,217 кгр., а по объёму - 2,99 куб/мётр.

Аналогично сухих газов, выходящих из сушки при заборе воздуха с 1,4 будут

	CO ₂	O ₂	N ₂
Всё в воздухе	31,8	5,3	63,
всё в объёме	22,7	5,3	72,

При газах сталь богатых углеродистой можно оправдывать рентабельно производство длиной углеродисты в сухого льда. Количество углеродисты, которое выходит продуктами горения из печи в сутки будет при производительности печи

в 30 т/срок. - 5,3.0,3 8050,5

в 50 т/срок. - 50.1,3.0,3 918284,3

ОПРЕДЕЛЕНИЕ ПРОИЗВОДСТВА БРЮХОВ

Чечь на своей высоте может быть разделена на зоны, в которых имеют место следующие процессы:

1-ая Самая верхняя зона - сушка брюхота.

2-ая подогрев брюхоты до температуры

диссоциации 650

3-ая зона обжига (диссоциации)

4-ая зона охлаждения.

Определим продолжительность пребывания брюхоты в каждой зоне в отдельности за время прохождения брюхоты через печь.

Зона обжига.

Доказано, что брюхоты вступают в зону обжига на гретье до температуры 650° Средняя же температура газов в зоне обжига 550°, времением сушки для коэффициента теплопередачи α по Гребору - 20, а коэффициент теплопередачи извести λ 39,6, тогда время T , необходимое для проведения процесса обжига при этих условиях в цилиндрических брюхотах длиной 60 м/м

шёлком по фермуару (см. в. п. В ~~буквой~~
"Быстро" на ходе)

$$T_b = \frac{425 \cdot 10^8}{4(T-\theta_0)} \left(\frac{\partial_k}{2} + \frac{\partial_k^2}{9\lambda} \right) = \frac{1,5 \cdot 245 \cdot 10^8}{4(940 - 20)} \left(\frac{0,96}{20} + \frac{0,0026}{1 \cdot 0,6} \right) = 6,50 \text{ часа}$$

Зона подогрева

Температура газов при выходе их из сопла обдува, как мы видели раньше, будет -900° . Брикеты вступают в зону при температуре -100° , а проходя зону нагрева, нагреваются до температуры за счет газов. Следовательно газы в зоне нагрева потеряют определенное количество тепла, которое можно выразить брикетом нагрева следующим образом: На нагрев брикета -100° тепла $2,1 \cdot 0,8 \cdot 0,21 (350 - 100) = 260$ кал. На потери через клаудку ~~ущину~~ $- 0,05 \cdot 2600 \cdot 0,02 = 33,8$ этого газа потеряли в зоне нагрева $- 293,8$ кал.

Изменение температуры газа в этой зоне ΔT_k найдется из уравнения
 $(0,05 \cdot 2600 \cdot 0,02 + 293,8) \cdot \frac{1}{0,21} + 21 = 1,31 T_k - 198,8$ кал.
 $\therefore T_k = 1,31 T_0 - 198,8$ кал.

откуда $\therefore T_k = T_0$. Понижение температуры газа в зоне нагрева будет -228° .

а) Температура газов по выходе из зоны нагрева будет $-900 - 228 = 672^\circ$

Температура газов вступающих в зону нагрева T_0 как мы видели это раньше, равнялась -900° вступающих из этой зоны -672° . Для определения времени пребывания ракеты в зоне нагрева предположим, что нагрев на три вспомогательные зоны одинаков. Тогда температура газов в каждой из них температуры зон вспомогательных вспомогательных зон, то есть T_0 со временем

ются, как указано на схеме:

	Граница нагрева	т-р. в зоне	т-р. в зоне
	672°	718°	700°
І зона	Ср. т-р. газов	718°	350°
ІІ зона	Ср. т-р. газов	786°	600°
ІІІ зона	Ср. т-р. газов	824°	600°
		900°	850°

Принимая с небольшой ошибкой, что в каждой испомогательной зоне температура газов постоянна в пределах средней арифметической пограничных температур газов, то в этой зоне, как - то: в первой испомогательской зоне температура будет

$$\frac{672 + 718}{2} = 710$$

Во второй зоне

$$\frac{748 + 824}{2} = 786$$

В третьей зоне

$$\frac{824 + 900}{2} = 862$$

Бракеты проходя через каждую из испомогательных зон получают от газов в каждом из них одинаковое количество тепла (по скольку переход температур газов в каждой зоне одинаков), а потому температура

брюкета в каждой зоне должна подняться на 250° , и брюкты проходя в следом порядке через все три зоны должны будут иметь температуру к концу первой зоны $- 350^{\circ}$ к концу второй зоны 500° , а к концу третьей зоны $- 650^{\circ}$.

Средняя продолжительность пребывания брюкета в каждой из этих вспомогательных зон при данных выше условиях для чего воспользовались приемом уравнения Греберера для определения на граве той в среде определенной температуры (см. II-ой выпуск работ по ГИИМ, глава "Измерение избыточной температуры")

Для этого следует критерий

$$hR = \frac{c}{\lambda} = \frac{20 \cdot 0,03}{0,8} = 0,75$$

Чтобы помочь, пока Средняя температура брюкета в начале нижней зоны $- 500^{\circ}$ принималась температуру грава нижней зоны за температурой шкалы, температура брюкетов по всей зоне будет $- 600 - 802 - 250$

Потому теплосодержание медовых брюкетов одного игр. изности в данной температурной зоне выражается:

$$2,1 \cdot 0,21 \cdot (-200) = -115 \text{ ккал.}$$

В этой вспомогательной зоне брюкеты получат тепла $- 250 = 38,3 \text{ ккал.}$ и значение функции Ψ диаграммы Гребера будет $\frac{-250}{115} = 0,76$. Там значение брюкетерия A_{Ψ} соответствует по диаграмме Гребера значению для $R^2 = \frac{1}{0,8}$

$$\text{Где } A = \frac{\lambda}{\Psi} = \frac{0,8}{0,21 \cdot 115 \text{ ккал}}$$

в время пребывания брюкета в этой зоне —

$$t_1 = \frac{4R^2}{\pi d^2} = \frac{4 \cdot 0,0009 \cdot 0,24 \cdot 1600}{\pi \cdot 0,3^2} = 0,393 \text{ кв. см}$$

При этом, зона. средняя температура брикетов в начале второй зоны. зона, где они выделяют тепло будет 160° , температура газа в средней зоне $- 785^\circ$, а потому температура брикетов отнесенная к шкале $-785^\circ \pm 0^\circ$ будет: $160 - 785 = -625$

активное содержание брикетов в начале второй зоны отнесенное к данной шкале будет $2 \cdot 1 - 0,21 = 0,98$

И стационарная функция Ψ диаграммы Графбера для второй зоны будет

$$\Psi = \frac{0,98}{1,92} = 0,51$$

значение $\pm 0,1$

Откуда время пребывания во второй зоне $t_2 = \frac{4R^2}{d^2} = \frac{4 \cdot 0,0009}{0,3^2} = 0,25$

$$\frac{1500}{1} = 0,25$$

И вспом. зоне температура брикетов в начале зоны -160° , средняя температура второй зоны -710° , температура брикетов при выходе $-710^\circ \pm 0$ будет -610° . Тогда содержание брикетов в этой зоне будет

$$2 \cdot 1 - 0,25 = 0,75 \cdot 270 = 202,5$$

значение функции будет $\frac{\Psi \cdot 0,25}{270} = \frac{0,51 \cdot 0,25}{270} = 0,326$

значение $\frac{dt}{dt} = 0,5$ в время пребывания в первой зоне будет

$$0,25 \cdot 0,0009 \cdot 0,24 \cdot 1600 = 0,0009$$

$$t_3 = \frac{0,0009}{0,8} = 0,001125$$

время прохождения брикета цилиндром в 6 см. через зону нагрева будет

0,39 + 0,41 + 0,093 = 0,883 чес.

Задание

Температура газов при входе в зону сукии - 70° см. стр. 10 при входе 672° средняя температура газов в этой зоне - 1912° ± 52°

Прекоррент времени идущим из параллельных брикетов до 100° по схеме с охлаждением и плавлением пыли и пылевидной влаги брикетов, пользуясь формулой для определения времени воспламенения пыли при высоких температурах, время пребывания брикетов в зоне сукии вычисляется из

$$\frac{S10 \cdot 70}{100.4(57-100)} \left(\frac{\partial_{\infty}}{\alpha} + \frac{\partial_{\infty}^2}{4\lambda} \right) = \frac{20 \cdot 1,5 \cdot 10 \cdot 10}{100.4(521-100)} \left(\frac{0,05}{20} + \frac{0,003}{1,6,8} \right) = 0,4$$

Задание

На зоны обжига брикет исчезает в ходильнике при средней температуре 1000° в зоне охлаждения брикет охлаждается до 200°. Температура воздуха вступающая в ходильник - 0°.

Количество воздуха проходящего через ходильник принимаем = 0,4 от количества теоретического необходимого для сжигания топлива.

Температура воздуха выходящего из зоны охлаждения выражается из уравнения

$$(1000-200) : 0,21 \cdot 0,36 = \frac{0,916}{0,23} \cdot 0,4 \cdot 0,22 = 0,65 T_0$$

$$\text{откуда } \begin{matrix} 800,0, 2,0, 95,0, 2 \\ \hline 0,916,0, 4,0, 22,0, 65 \end{matrix} = 702^{\circ}$$

Для определения времени прохождения брикета через зону охлаждения прибегнем к тому же приему каким мы пользовались в зоне нагрева, для чего разделим зону охлаждения на три вертикальные зоны и которых перед температурой воздуха будет одинаковый и мы получим следующую схему:

Зона охлаждения

	702
Ср. тем. возд.	
635	468
351	234
117.	0

Температура брикета в первой зоне 1000° температура воздуха в первой зоне $- 635^{\circ}$, а потому температура брикета отнесенная к шкале на которой температуре 635° соответствует 0 будет $1000 - 635 = 365^{\circ}$.
сплаводержание брикета в начале этой зоны при данной условной шкале будет $- 365 \cdot 0,21 = 74$ критерий

$$20,0,03$$

для этого случая будет $\frac{1}{0,6} = 1$

Брикеты проходящие через между зону охлаждения должны будут терять тепла

$$(1000-200) \cdot 0,21.$$

$$\frac{800 \cdot 0,21}{3} = 66 \text{ ккал.} = 20,755$$

$$\text{значение функции } \Psi = \frac{15,6}{74} = 0,755$$

Чему соответствует значение $\frac{at}{\lambda t} = 0,95$
откуда время прохождения брикета через
вторую зону охлаждения
 $t_2 = \frac{0,95 \cdot 0,0009 \cdot 0,21 \cdot 100}{0,6} = 0,3$

Будет время охлаждения.

Средняя температура брикетов в начале
второй зоны охлаждения

$$1000 - \frac{361}{3} = 733^{\circ}$$

Средняя температура во второй зоне $- 361$

Температура брикета относенная к
шкале Гре 361 ± 0 будет

$$733 - 361 = 382$$

Гендоходимое брикетом относенной к
этой шкале будет $382 \cdot 0,21 = 80,5$

Значение суммации

$$\psi = \frac{55}{80,5} = 0,69 \pm \frac{at}{\lambda t} = 0,75$$

Откуда время прохождения через вторую зону
 $t_2 = \frac{0,75 \cdot 0,0009 \cdot 0,21 \cdot 100}{0,6} = 0,282$

Средняя температура последней зоны $- 117$

Температура брикетов воздуха послед-
ней зоны $360,2$
 $1000 - \frac{360,2}{3} = 467$

Температура брикет относенная к ука-
занной шкале будет

$$467 - 117 = 360^{\circ}$$

Теплосодержание брикета относившее к
установке будет

$$350 \cdot 0,21 = 73,5$$

Брикеты должны будут терять тепло 56
кал.

Откуда значение функции $\psi = \frac{56}{73,5} = 0,764$

$$\text{и } \frac{at}{\rho c} = 0,8$$

Откуда время прохождения через послед-
нюю зону

$$0,8 \cdot 0,0009 = 0,00072$$

$$= \frac{0,252}{0,6} = 0,42$$

Предположимость прохождения брикета
через все зоны холодильника будет:

$$0,25 + 0,25 = 0,50$$

Общее время прохождения брикетов ди-
аметром 20 см. через все зоны печи будет:

$$0,50 + 0,5 + 0,73 = 1,73$$

Производительность печи исходя из ее
объема (не учитывая мощность топливного
агрегата) для таких брикетов должно быть
90 тонн в час.

90

$$\frac{8,5}{8,5} \cdot 21 = 100 \text{ тонн/час}$$

расчета

если для проверки зонки брикеты 20 см
(размер колок объемом 1000 расчетываются ма-
тинг печи для плавки), то время прохож-
дения через печь вычислена ука занным ме-
тодом будет:

результат:

$$1,5 \cdot 216 \cdot 10 \cdot \left(\frac{0,2}{21} + \frac{0,01}{1,5} \right) = 11,6$$

$$1 (950 - 850) = 11,6$$

ФОРМА ИССЛЕДОВАНИЯ

$$L. \text{ Критерий } hR = \frac{20 \cdot 0,21}{0,8} = 2,6$$

Значение для $\frac{ab}{R^2}$ в данном случае будет $= 0,4$
 Откуда время прохождения через зону $t_1^{(2)} = \frac{0,4 \cdot 0,01 \cdot 1500 \cdot 0,21}{0,8} = 1,58$ сек.

$$L. \text{ Критерий зоны } hR = \frac{at}{R^2} = 0,23 \text{ и } \frac{0,21 \cdot 0,01 \cdot 1500 \cdot 0,21}{0,8} = 0,9$$

В третьей зоне - критерий $\frac{at}{R^2} = 0,075$
 откуда $\frac{0,75 \cdot 0,01 \cdot 1500 \cdot 0,21}{0,8} = 0,314$

$$t = 1,58 + 0,314 = 1,894$$

Время окончания по предыдущему $= 1,22$

Время окончания для приколов в 20 см находит следующим образом:

$$hR = \frac{20 \cdot 0,21}{0,8} \text{ критерий } \frac{at}{R^2} = 0,37 \text{ откуда } t_1 = 1,3$$

для второй зоны $\frac{at}{R^2} = 0,1$ $t_2 = 1,3$

в третьей зоне $\frac{at}{R^2} = 0,5$ $t_3 = 1,75$
 Время пребывания в колокольчике бретов линии в 20 см. будет

$$1,3 + 1,4 + 1,75 = 4,45$$

превышение из бретта в объеме масти за все время сдачи на граве обширно

заказания будет 11,542,842,2248,45 -
-50 98

- Суточная производительность печи для
брокетов в 20 тонн будет

50

----- . 24 в 42,5 тонны.

50

Баланская близкая к обычной цене прием-
лемой практической величина 0,35 тонны
извести с кубометра каждого об'ема печи.

Отсюда мы видим, что печь по своему
об'ему дает возможность развать производ-
ительность в больших пределах, и действи-
тельный производительность является тако-
вой же устроенной и тягой.

Печь обслуживается 1-м классом и го-
ворят о том, что каждый год к сердечнику печи
верхней горелки в каждой из топок будет

1,75 - 1,92

По скольку тяга топок является соп-
ротивлением, печи принимаем запасаемость
верхней горелки топок при работе в единой
трубе 200000 кал/ка. итр. зер. гор.

Отсюда суточная производительность
печи получается за сутки:

200.000 .1,92 .5 .21

----- - 27,2 тон. из-
0,05 18600.1000 - вость в сут-
ки.

С установкой достаточно мощного аспи-
ратора, когда разжение в топке можно
будет довести до 5-6 м/м вод. стояба наль-
яется верхняя горелка будет доведена до
100000 - 150000 кал/ка. итр. зер. и про-
водимость печи будет быть доведена
исходя из расчета топок до 50-60 тонн из-
ности в сутки при соответствующем брикете

Таким образом мы видим, что имеющие в
комплектации стоящим размер брикетов и си-
хи тяги, мы можем с значительных продажах
предовать производительность печи.

Размеры отдельных элементов устья печи
При производительности печи в 30 и
50 тонн сутки

Таблица

Напряженные зеркала горения

При производительности 30 квадратных метров
в сутки.

$$30 \cdot 0,65 \cdot 2600 = 1000$$

$$\frac{1000}{27,5 + 1,92} = 220000 \text{ кал} / \text{м}^2 / \text{час}$$

При производительности 50 тонн сутки.

$$22000 \cdot 50$$

$$\frac{22000 \cdot 50}{30} = 368000 \text{ кал} / \text{м}^2 / \text{час}$$

Размеры зеркал горения

Газы из топки вытесняют в печь через 2
шайбы имеющие размер 0,76 . 0,25

парфасускимиро

для обогара - известия 0,65 торфа
которые должны для этого быть в топке сожжены
дадут след. количество газов

$$CO_2 = 1179 \cdot 0,65 = 740 \text{ гр.}$$

$$N_2 = \frac{916 \cdot 0,65}{0,25} = 2680 \text{ гр.}$$

$$H_2O = (450 + 284) \cdot 0,65 = 376 \text{ гр.}$$

Но во общему при 0°

$$CO_2 = \frac{740 + 22,4}{14} = 383 \text{ гр.}$$

- 28 -

$$2580 \cdot 2,4 = 2050 \text{ л.}$$

15

$$\text{В.О.} = \frac{175 \cdot 22,4}{15} = \frac{385}{15} \text{ литр. (куб. м.)}$$

Скорость выхода газов из печи в минутах при температурах в 900° и производительности печи 900

$$30 \text{ мин.} = \frac{3,03 \cdot 30000}{5,21 \cdot 3600 \cdot 0,75 \cdot 0,28 \cdot 2} = 2,42 \text{ м/мин.}$$

$$50 \text{ мин.} = \frac{242,5}{3} = 8,08 \text{ м/сек.}$$

Скорость отходящих газов в каналах печи. Склона печи применяемое к отводному каналу имеет значение

$$(0,7 + 0,5) 0,5 = 0,60$$

Количество газов выходящих из печи приходящие из 1 кг извести (если температура с избытком $\Delta = 1,4$) будут

$$0,60 \cdot 740 = 44,4 \cdot 0,8 \cdot 0,9 \cdot 0,4 \text{ гр/м}^3 \cdot 400 \text{ гр.}$$

$$N_t = 2580 \cdot 2,4 = 2050 \text{ л.}$$

$$\text{В.О.} = 175 + 2,4 \cdot 0,6 = 195$$

По объему при 0°

$$30 \text{ л.} = \frac{175 \cdot 22,4}{44} = 0,715$$

$$N_t = \frac{26,0 \cdot 32,4}{28} = 4,88$$

$$O_2 \quad 361 + 665 + 22,4 \\ \hline 1058 = 0,161$$

$$H_2O \quad 896 \\ \hline 18 = 22,4 \quad 1,12$$

Всего 1,88 м³

Скорость газов U в вышке печи будущ-

$$\text{При проф } 30 \text{ м/ч} = \frac{4,89 \cdot 30000}{143600}$$

$$\frac{(1 + \frac{270}{273})}{0,161} = 9,1 \text{ м/сек.}$$

$$\text{При проф } 50 \text{ м/ч} = 15 \text{ м/сек.}$$

Таблица

Считая, что сопротивление в печи отходящим газам составит 10 на пути, печи по высоте, а сопротивление сажи толщина в топках 6 м.м. то общее сопротивление сажи в топках и печи $62 + 10 + 6 = 66$ м.м. 6.с.

Средняя температура газов в выште

$$\frac{900 + 370}{2} = 635^{\circ} \text{ С}$$

Д. вес газов по выходе их из печи

$$\frac{1460 + 183 + 2783 + 897}{1000} = 1,2$$

$$770 + 181 + 2410 + 1115$$

Средняя плотность воздуха 1,2 кг/м³ и образующийся самотлеющий пепел

$$1,2 \cdot 1,2 = 1,44 \cdot \frac{270}{270} = 9 \text{ м}^3/\text{ч} \text{ в. с.}$$

Сход. разражение, которое должно создаваться вентилятором

$$\Delta P = 9 - 0.9 = 8.1 \text{ м.в.с.}$$

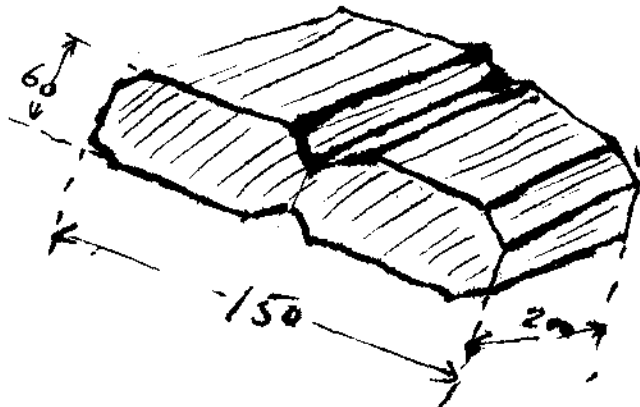
Количество газов для отвода иземых вентилятором в час 1,92,50000
При производ. в 50 ----- 10200
" " в 30 ----- 31 тон/час

Первый вентилятор Сиркуль № 5
Мощность вентилятора

$$\frac{\Omega h}{72,0,45} = \frac{11000,5}{75,0,45,0300} = 5,6 \text{ л.с.}$$

Фракционные производственные

Предполагая поставить брикетировочные прессы для готовки из формованого получим брикеты след. формы и размера



При уд. весе меда 20% влажности 2,4) час
1-го бракета будет 1.3.0.6.2.2.2 = 4 и

При суточной производительности пресса
медовых бракетов по 5000 веса будет (Расчет
на прессе 21 часов в сутки)

50000 . 2,

или $\frac{50000}{1250} = 40$ брак. в час
будет 4.21

Число оборотов коленчатого вала пресса
при такой производительности

1250

--- = 21 об/мин.

Допускаемое давление пресса 50
кг. в к.м. . вес 17 кг/секость двигателя
для пресса 1500.60.0.75 = 3 л.с.

Корки гибают в зону рабочих сечек бракета
непрерывно по 4 бракета в минуту, захваты
кажды корком по одному бракету разсто
дние между корками 10 см.

Скорость линейной скорости цепи коры, будет

0.6

--- = 0.2 . 44 сек.

60

Диаметр зубч. колеса Галль от коры 298
Число оборотов зубчатки в минуту и опреде
лится 0.2 . 0.2 . 0.98 п.

сткуда 0.21 : 10

и --- = 13 об/мин.

п. 0.296.

Котор имеет число оборотов 96/0 об/мин
передача от мотора к корки

960 = 72

--- 18

диаметр окна мотора 100
Бордера существует:
2 параллельных буфетных полес $\text{d}_1 = 150 \text{ mm}$
 $\text{d}_2 = 500 \text{ mm}$ $\text{d}_3 = 100 \text{ mm}$ $\text{d}_4 = 500 \text{ mm}$

А потом, жил на горе приводим в движение мотором спредеялется чисто движение.

100, 150, 100, 500

$$\frac{100 + 150 + 100 + 500}{4} = 300 \text{ см}$$

Размер окна 400x200x200

Посколько мотора приводится в движение — бордера на кель

высоту поднятия брикетов 6 см брикетов поднимают за единицу времени

50, 100, 2

$$\frac{50 + 100 + 2}{3} = 50 \text{ см/сек}$$

Число К. и. с. установка 0,5.
мощность мотора 1,4, 20

$$\frac{1,4, 20}{0,5} = 28 \text{ см/сек}$$

отсюда мотор при помощи лебедки приводят в движение баррабан пытателя, а потом ставят мотор в 0,5 к. с.

Распределение массы грузов вентилятора транспортера

Принимаем тоннажную массу груза по транспортеру в 400 кг

Через транспортера 400 кг/м

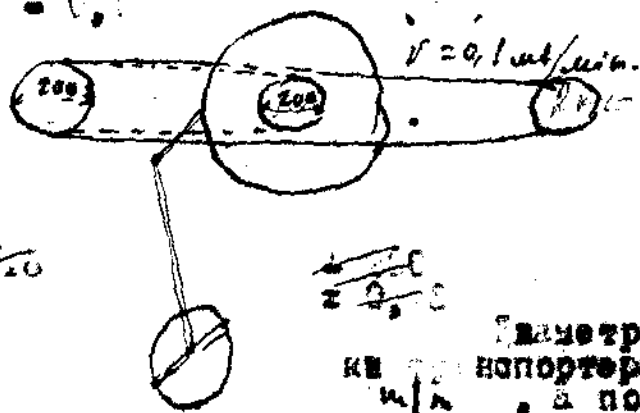
Сумма грузов в багажниках 0,8
Чтобы при этих условиях существовать через 4 погрузочных отверстия 50 тоннную залежку груза на базе одна часоваяработка в сутки скорость транспортера 5 спредеялется

50000

$$= 0,1 \text{ об/мин.}$$

$$,34,0,8,1000,60,0,0,6$$

= 0,1



$\pi = 0,1 \text{ об/мин.}$

$N = 0,1 \text{ об/мин.}$

Губчатое колесо ведет на своем валу с храповым колесом идет вперед. Губчатое колесо приводимое в движение с храповым колесом сдвигает друг от друга только друга на 1/2 зуба. Тогда они получают качание от редуктора в соотв. передачи $1/140$, следовательно если им отдать на редуктор колеса в 90° обратное движение сделают в минуту 90° .

$90^{\circ} = 20,5$ качаний в храповом колесе в минуту. Следовательно за

$\frac{1}{140} = 5$ зубцов

Следовательно храповое колесо должно за минуту сделать $5 \cdot 20,5 = 102,5$ качаний, то есть должны быть

$102,5 = 27$ зубцов